
CURS 4 - 5

ELEMENTE CONSTRUCTIVE ALE SISTEMELOR DE TRANSMITERE ARMONICE

În anul 1959 a fost brevetat un nou tip de transmisie mecanică, *transmisia armonică*, prezentată la expoziția tehnică de la New York în 1960 de către inginerul american C.W. Musser, introdusă în fabricație de serie cu multiple posibilități de aplicare în construcțiile mecatronice pentru acționări de puteri mici de maxim 10 kW (reductoare de uz general sau pentru utilizări speciale: construcția de avioane, rachete, sateliți, etc.).

Avantajele transmisiei armonice:

- au o construcție simplă și compactă (gabarit redus);
- asigură rapoarte de transmitere mari: 50-150 (300):1 cu o singură treaptă;
- au capacitate ridicată de transmitere a momentelor de torsiune;
- sunt rigide și fără jocuri;
- au precizie de poziționare excelentă și repetabilitate;
- lucrează într-o gamă largă de temperaturi, de la criogenice la caldură extremă;
- randament ridicat;
- durabilitate mare și ciclu de utilizare îndelungat;
- au funcționare silențioasă chiar la inversarea direcției.

Firmele producătoare au preocupări permanente de îmbunătățire a parametrilor transmisiilor armonice (proiectarea elementelor constructive componente) și extinderea tipurilor constructive de astfel de transmisii pentru mișcarea de rotație (prin roți de fricțiune, roți danturate) sau de transformare a mișcării de rotație în mișcare de translație (transmisii armonice șurub-piuliță). În țara noastră se realizează modele de transmisii armonice la Întreprinderea Mecanică Timișoara, Întreprinderea Neptun Câmpina, Universitatea Tehnică Cluj-Napoca.

4.2. Principiul de funcționare. Clasificarea sistemelor de transmitere armonice

Funcționarea transmisiei armonice se situează între transmiterea directă a mișcării prin roți (de fricțiune sau dințate) și cea cu elemente intermediare flexibile (curele, lanțuri, cabluri). Constructiv, transmisia armonică cu element deformator simplu se obține dintr-o transmisie planetară cu o roată centrală, parcurgând *etapele de transformare constructivă* ca în fig. 5.1.

Transmisia planetară inițială (fig. 5.1, a) are în componență următoarele elemente constructive: elementul de intrare 1 (brațul port-satelit *H*), roata centrală fixă 2, satelitul 3, elementul (arbore) condus 4, elementul flexibil (sub forma de tub) 5 realizat ca un cuplaj între satelit și arborele condus.

În fig. 5.1, b așezarea satelitului 3 pe brațul 1 se face prin intermediul rolei 6 (element pasiv) care transformă satelitul într-un inel rigid fixat la elementul condus 4.

Mărinđ diametrul rolei 6 (ca în fig. 5.1, c) până când satelitul 3 devine un inel flexibil, satelitul și tubul-cuplaj 5 se pot realiza corp comun rezultând elementul 3-5. În acest caz rola 6 are rolul de a obliga elementul flexibil 3-5 să ruleze pe roata centrală 2 (la transmisia planetară inițială acest rol este îndeplinit de excentricul brațului port-satelit 1). La rotirea elementului conducător 1, elementul flexibil 3-5 capătă deformații sub forma de unde, ceea ce justifică denumirea de transmisie "armonică".

Pozițiile *d* și *e* din fig. 5.1 sunt reprezentările simbolice ale unei transmisii armonice formată din următoarele elemente constructive:

1 (**D**) - deformatorul (generatorul de unde);

2 (**R**) - elementul rigid;

3 - 5 (**E**) - elementul flexibil.

Clasificarea sistemelor de transmitere armonice se face după mai multe criterii astfel:

1. după *tipul constructiv* al transmisiei planetare din care provine:
 - transmisii planetare *cu o roată centrală* - fig. 5.1, d;
 - transmisii planetare *cu două roți centrale* și satelit dublu - fig. 5.2;
2. funcție de *posibilitatea de mișcare*, transmisiile armonice pot fi :
 - *cu element flexibil rotitor* - fig. 5.1, d;
 - *cu element flexibil staționar* - fig.5.1, e;

3. după *natura suprafețelor de lucru* (contactul) între elementul flexibil și elementul rigid:

- transmisii armonice *cu fricțiune*: cu suprafețe de contact netede, folosind roți de fricțiune - fig. 5.3, a;

- transmisii armonice *danturate*: contact între dinții prelucrați pe cele două suprafețe (angrenaj armonic) - fig. 5.3, b;

- transmisii armonice șurub-piuliță: cu suprafețe de contact *elicoidale* - fig. 5.3, c.

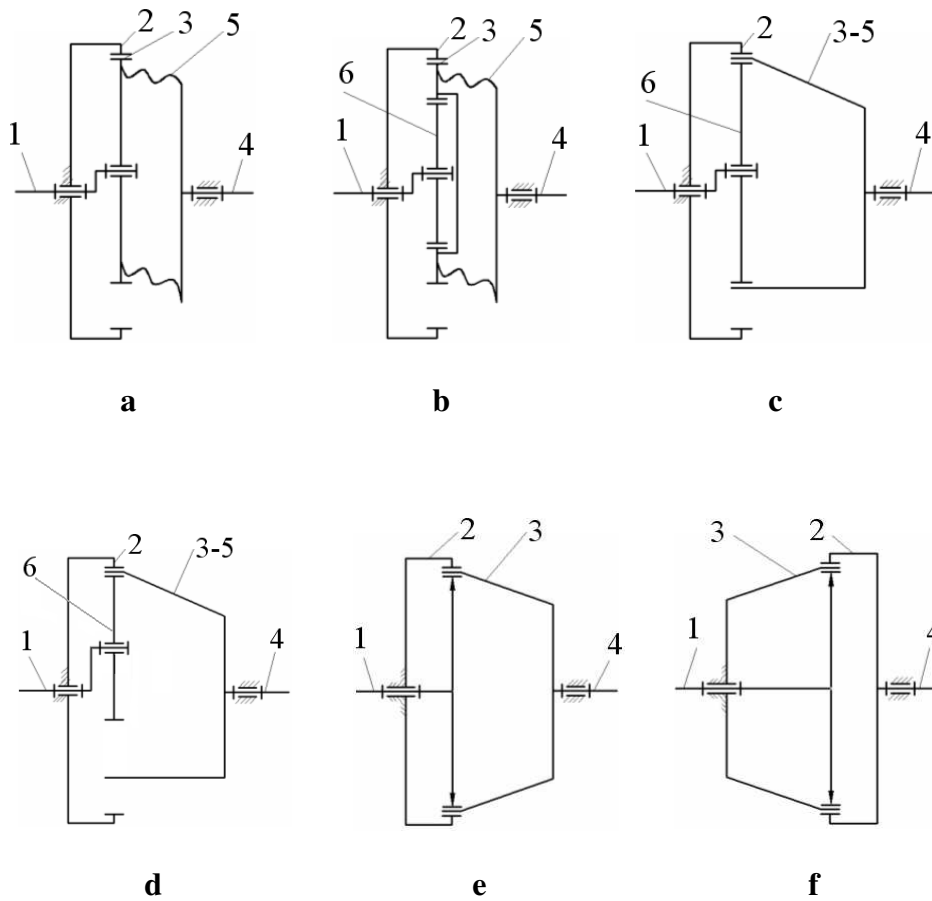


Fig. 5.1 Etapele transformării constructive

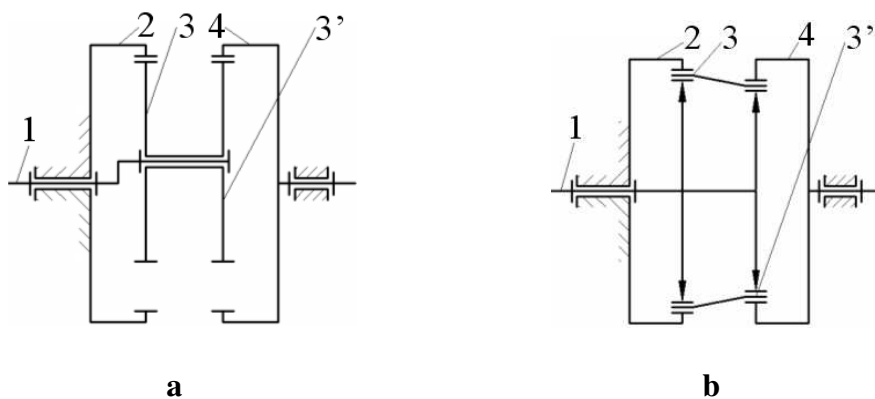


Fig. 5.2 Transmisie armonică cu satelit dublu

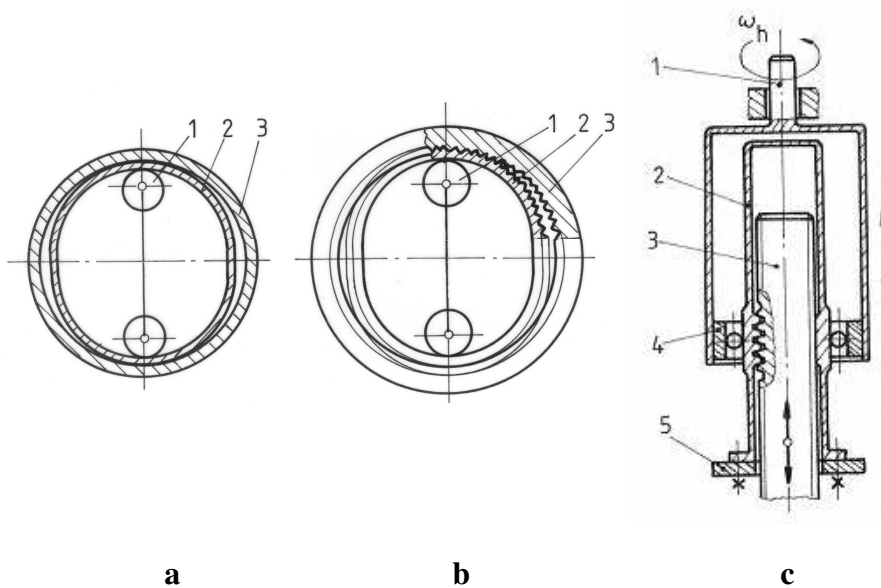
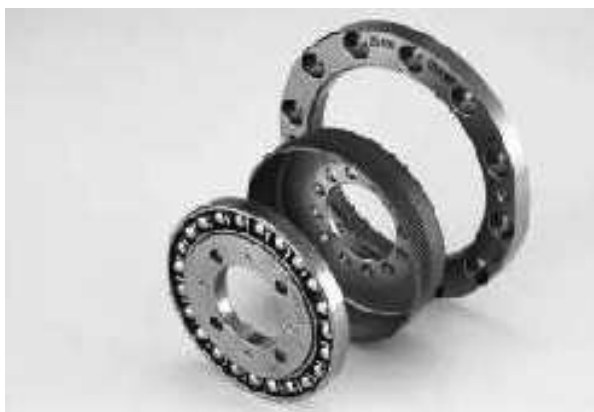


Fig. 5.3 Tipuri constructive de transmisii armonice (TA)

Transmisia armonică, atât prin fricțiune cât și cea danturată, realizează rapoarte de transmitere de ordinul miilor până la sute de mii și au capacitate portantă ridicată.

4.2. Geometria elementelor constructive ale sistemului de transmitere armonic danturat

Transmișiile armonice dințate utilizate în construcțiile mecatronice au la bază schemele structural-constructive din fig. 5.1, e, f și fig. 5.2, fiind realizate din cele trei elemente constructive specifice: deformatorul D (1) - cu suprafața de contact netedă, elementul flexibil E (3) și elementul rigid R (2) - danturate.



Împachetarea mecanică a transmisiei armonice este un alt avantaj major deoarece formează un aranjament de arbori concentrice (intare, ieșire).

Fig. 5.4 Elementele constructive ale TA

Elementul deformator (generatorul de unde) are rolul de a transmite puterea și mișcarea de la elementul de acționare al transmisiei armonice către elementul condus, prin deformarea elementului flexibil a cărui dantură exterioară intră în angrenare cu dantura interioară a elementului rigid.

Construcția elementului deformator determină, în mare măsură, randamentul transmisiei armonice, starea de tensiuni din elementul flexibil, profilul dinților, precizia cinematică, caracteristicile dinamice și fiabilitatea transmisiei.

După *natura construcției*, elementele deformatoare sunt: mecanice, hidraulice, pneumatice și electromagnetice.

Tipurile constructive de elemente *deformatoare mecanice* folosite la sistemele de transmitere armonice sunt reprezentate schematic în fig. 5.5. Creșterea capacității portante se realizează prin obținerea mai multor zone de contact ale elementelor danturate, fiind determinată de posibilitatea stabilirii unei anumite forme a elementului flexibil.

După numărul brațelor care determină zonele de contact dintre elementele danturate, elementul deformatoare poate fi : *simplic*, *dublu* sau *triplu*.

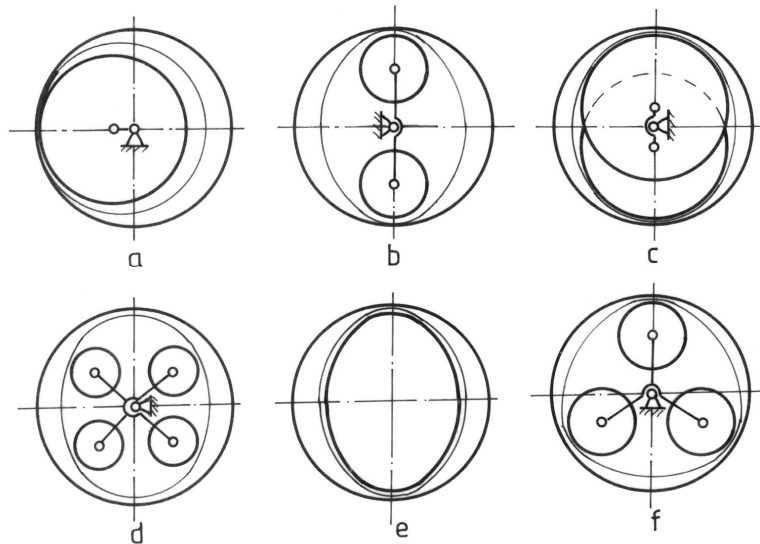


Fig. 5.5 Deformatoare mecanice - tipuri constructive

Deformatorul simplu din fig. 5.5, a este realizat sub formă de disc montat excentric față de elementul flexibil pe care îl deformează stabilind contactul danturii cu elementul rigid într-o singură zonă, ceea ce face ca aceasta variantă să fie mai puțin utilizată.

Deformatorul dublu asigură crearea a două unde de deformare a elementului flexibil și poate fi realizat cu două role (fig. 5.5, b) sau cu două discuri (fig. 5.5, c), ceea ce are avantajul că realizează, pe elementul flexibil nesolicitat, o deformare pe două zone, cu unghiuri centrale relativ mari de forma unui arc de cerc cu centrul pe axele de rotație ale fiecărui disc.

Deformatorul cu patru role din fig. 5.5, d sau cu mai multe role permite menținerea formei de deformare necesare pe tot perimetrul elementului (roții) flexibil(e).

Deformatorul cu camă - fig. 5.5, e - numit și generator cu deformare forțată, este cel mai frecvent utilizat, deoarece asigură sprijinul elementului flexibil pe tot perimetrul, ceea ce conduce la obținerea și

menținerea formei optime de deformare a roții flexibile sub sarcina de lucru. Generatoarele cu camă pot fi cu frecare de alunecare sau de rostogolire (între cama deformatoare și elementul flexibil se află corpuri de rulare). Deformatoarele cu camă asigură cele mai mari capacități portante, distribuția sarcinii pe lungimea dinților este mai puțin neuniformă decât la celelele tipuri constructive de deformatoare și are o construcție mai compactă.

Deformatorul triplu permite, de asemenea, obținerea unei deformări îmbunătățite a elementului flexibil (în trei zone de contact cu elementul rigid) fiind realizat cu trei role (fig. 5.5, f) sau în construcție planetară cu deformare liberă în trei puncte.

Pentru transmisiile de turație înaltă (15 000...50 000 rot/min) se utilizează generatoare de undă cu frecare de alunecare și ungere hidrodinamică în cupla generator-element flexibil. Pentru acest tip constructiv de deformatoare problema distribuției sarcinii pe role, discuri și corpuri de rulare prezintă aceeași însemnătate pentru transmisiile armonice ca și distribuția sarcinii pe sateliți la transmisiile planetare.

Construcția deformatoarelor este reprezentată în fig. 5.6, având elementul deformatoare realizat *cu role* (a) sau *cu discuri* (b).

Rolele constau dintr-un inel 1 și un rulment 2, dispus pe bolțul 3 de pe brațul 4. Pentru asigurarea condițiilor corecte de angrenare la orice sarcină, se introduce un inel suplimentar 5 (care produce rigidizarea elementului flexibil) cu grosime $g_4 = 1,5 \cdot g_1$.

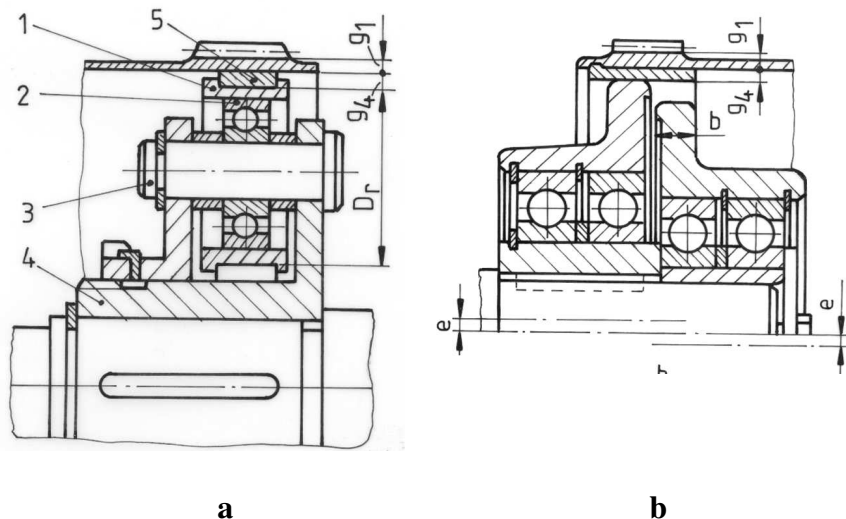


Fig. 5.6 Construcția deformatoarelor mecanice

Elementul flexibil - fig. 5.7 - este cilindric, sub formă de tub de lungime L cu perete subțire, cu dantură exterioară, la care grosimea peretelui cilindric g_2 , lungimea danturii b și diametrele de divizare D_E , interior D_{iE} și exterior D_{eE} se stabilesc din condiții de rezistență.

Pentru celelalte dimensiuni se recomandă: grosimea peretelui sub dantura g_1 , diametrul flanșei de prindere d_1 , lungimile danturilor b_1, b_2 și razele de racordare r_1, r_2 date de relațiile:

$$\begin{aligned}
 g_1 &= (0.01 - 0.015) \cdot D_E > g_2 \\
 d_1 &< 0.5 \cdot D_E \\
 L &\geq (0.8 - 1) \cdot D_E \\
 b_1 &= (0.15 - 0.25) \cdot b \\
 b_2 &= (0.3 - 0.5) \cdot b \\
 r_1 &= (10 - 20) \cdot m \\
 r_2 &= (2 - 3) \cdot g_2
 \end{aligned}
 \tag{5.1}$$

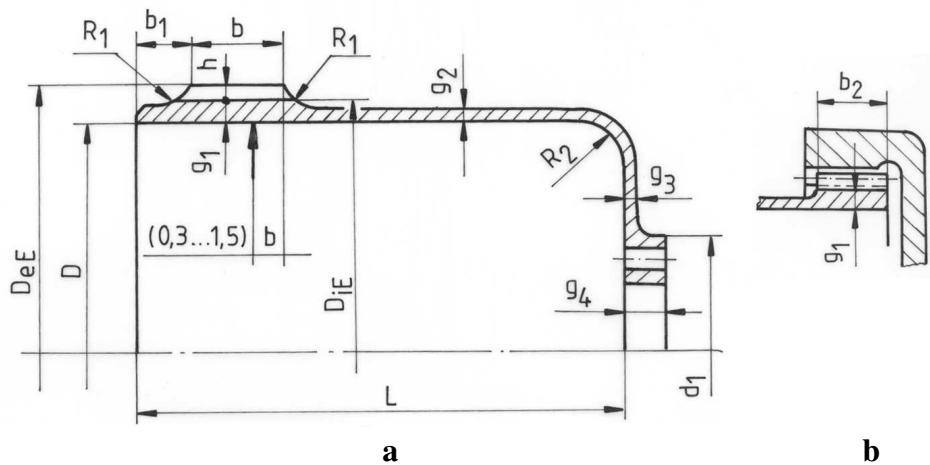


Fig. 5.7 Construcția elementului flexibil

Datorită geometriei și cauzelor de distrugere ale elementului flexibil (uzura danturii și solicitarea variabilă de încovoiere), materialele utilizate pentru construcția acestuia trebuie să aibă rezistență la oboseală de încovoiere, sensibilitate redusă la concentratorii de tensiuni și alungiri elastice mari. Cel mai bine răspund acestor cerințe unele oțeluri și

materiale plastice. Din prima categorie se folosesc oțelurile aliate cu crom-nichel: $19CrNi35$, $16CrNiW10$, $40CrNi15$, **oțelurile de arc** și oțelurile aliate cu crom $40Cr10$, cu tratament termic de îmbunătățire pentru obținerea unei duriții de 28 - 34 HRC.

Pentru elementul flexibil al transmisiilor de putere foarte mică se recomandă *materialele plastice poliformaldehydice* (delrin 100) sau *bronzurile cu beriliu*.

Elementul rigid al sistemelor de transmitere armonice este similar roții centrale cu dantură interioară a reductoarelor cu angrenaje planetare cu dinți drepți. Principalele tipuri constructive de elemente rigide sunt reprezentate în fig. 5.8:

a - inel fixat cu știfturi dispuse axial sau radial;

b - inel fixat cu șuruburi (inelul prezintă doi umeri pentru așezarea coaxială cu deformatorul și cu elementul flexibil);

c - inel divizat al unei transmisii fără joc (partea mobilă 1 se rotește față de partea fixă 2, în limitele jocului dintre flancurile dinților transmisiei, sub acțiunea arcului 3);

d - inel realizat corp comun cu carcasa (dacă elementul rigid este imobil) sau cu corpul roții conduse (dacă elementul rigid este mobil).

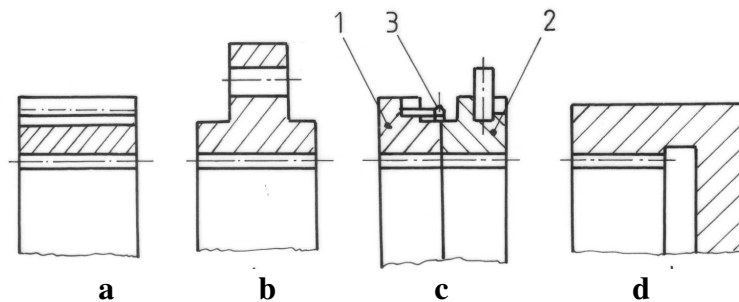


Fig. 5.8 Construcția elementului rigid

Dimensiunile elementului rigid se stabilesc astfel:

- diametrul exterior se alege din considerente tehnologice de execuție a danturii, funcție de metoda de danturare (folosind cuțit roată sau prin broșare) sau din considerente constructive de asamblare cu carcasa;

- lățimea danturii se ia cu 10% mai mare decât lățimea b a danturii elementului flexibil.

Deoarece solicitările elementului rigid sunt mult mai mici decât ale elementului flexibil, pentru construcția acestuia se recomandă oțeluri slab

aliante sau nealiante: *OLC 45, 40Cr10, 36MoSi12*, ș.a. cu tratament termic de îmbunătățire, sau *fonte cu grafit nodular*.

4.2. Raportul de transmitere. Corelarea numerelor de dinți

Pentru studiul cinematic al unui sistem de transmitere armonic se utilizează analogia cu transmisia planetară.

Raportul de transmitere se calculează, pentru cele două variante constructive, cu relațiile:

- *transmisia armonică cu element flexibil E rotitor* (fig. 5.1, d) - care este elementul condus:

$$i_{DE}^R = \frac{\omega_D}{\omega_E} = i_{I3}^2 = \frac{1}{i_{31}^2} = \frac{1}{1-i_{32}^I} = \frac{1}{1-\frac{z_2}{z_3}} = \frac{z_3}{z_3-z_2} = -\frac{z_3}{z_2-z_3} = -\frac{z_E}{\Delta z} < 0 \quad (5.2)$$

În acest caz, rezultă că vitezele unghiulare ω_E a elementului flexibil și ω_D a elementului deformatoare au sensuri de rotație contrare (fig. 5.9, a);

- *transmisia armonică cu element flexibil nerotitor* (fig. 5.1, e) - care are ca element condus elementul rigid 2:

$$i_{DR}^E = \frac{\omega_D}{\omega_R} = i_{I2}^3 = \frac{1}{i_{21}^3} = \frac{1}{1-i_{23}^I} = \frac{1}{1-\frac{z_3}{z_2}} = \frac{z_2}{z_2-z_3} = \frac{z_R}{\Delta z} > 0 \quad (5.3)$$

de unde rezultă că viteza unghiulară ω_E a elementului condus are același sens cu viteza unghiulară ω_D a elementului conducător (deformatorele) ca în fig. 5.9, b.

În fig. 5.9 a, b este reprezentată secțiunea transversală prin elementele de bază și vitezele unghiulare ale unei transmisii armonice cu deformatore dublu și element flexibil rotitor, respectiv staționar (nerotitor).

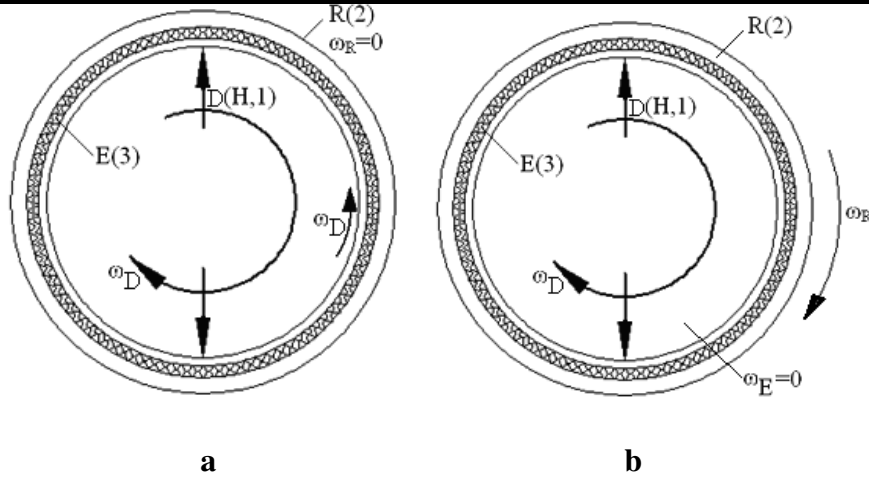


Fig. 5.9 Secțiune transversală prin transmisia armonică
 a – cu element flexibil rotitor
 b - cu element flexibil staționar

Din relațiile de calcul (5.2) și (5.3) se observă că pentru obținerea unor rapoarte de transmitere i cu valori mari este necesar ca diferența între numerele de dinți z_2 pentru elementul rigid și z_3 pentru elementul flexibil trebuie să fie cât mai mică, ceea ce implică realizarea unor danturi cu modul mic pe suprafețele celor două elemente (rigid și flexibil).

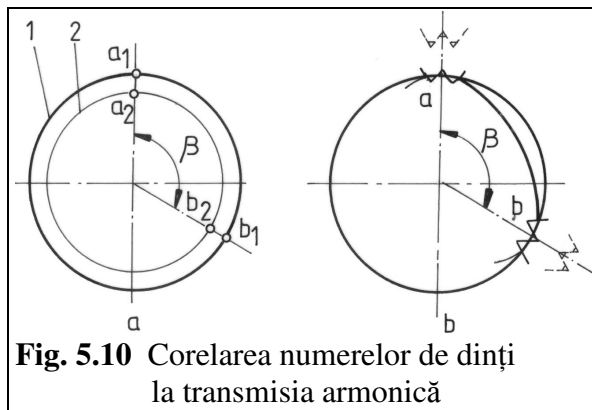


Fig. 5.10 Corelarea numerelor de dinți la transmisia armonică

Corelarea numerelor de dinți ale elementelor danturate R și E se impune din condiția de montaj a transmisiei armonice, adică de realizare a angrenării. Înaintea introducerii elementului deformativ, elementele danturate (flexibil și rigid) sunt roți circulare

concentrice (fig. 5.10, a); după introducerea deformativului D în interiorul elementului flexibil E (3) trebuie să se realizeze angrenarea

între elementul flexibil și elementul rigid (roata centrală) R (2) - fig. 5.10, b.

Dacă se notează cu k numărul brațelor elementului deformat, distribuite echiunghiular, rezultă unghiul de poziție al roților ($\beta = 2 \cdot \pi / k$) și se impune ca după deformarea elementului flexibil punctele a_2, a_3 și b_2, b_3 să se suprapună, determinând zona de angrenare a dinților, se calculează lungimile arcelor a_2b_2 , respectiv a_3b_3 în funcție de modulul m al danturilor și unghiul de poziție β :

$$\begin{aligned} a_2b_2 &= R_2 \cdot \beta = \frac{m \cdot z_2}{2} \cdot \frac{2\pi}{k} \\ a_3b_3 &= R_3 \cdot \beta = \frac{m \cdot z_3}{2} \cdot \frac{2\pi}{k} \end{aligned} \quad (5.4)$$

Dacă în timpul angrenării axele dinților elementului flexibil 3 coincid cu axele brațelor deformatului, se pot scrie egalitățile:

$$a_2b_2 = A \cdot p = A \cdot \pi \cdot m ; \quad a_3b_3 = B \cdot p = B \cdot \pi \cdot m \quad (5.5)$$

în care: A, B - numere întregi; p - pasul danturii.

Efectuând diferența arcelor corespunzătoare punctelor a și b aflate pe fiecare din elementele danturate în contact, rezultă:

$$a_2b_2 - a_3b_3 = \frac{\pi \cdot m}{k} \cdot (z_2 - z_3) = (A - B) \cdot \pi \cdot m \quad (5.6)$$

din care reiese:

$$z_2 - z_3 = N \cdot k \quad (5.7)$$

cu: N - număr întreg, adică diferența dintre numerele de dinți ale elementelor danturate dintr-o transmisie armonică trebuie să fie un multiplu al numărului brațelor elementului deformat.

Se recomandă: $N = 1$, în care caz rezultă diferența numerelor de dinți:

$$\Delta z = k = 1; 2; 3. \quad (5.8)$$

5.4. Mișcările relative între elementele constructive ale transmisiei armonice

În cazul unei transmisii armonice cu deformator dublu și element flexibil rotitor, ca în fig. 5.9, a, pentru care $\beta = \pi$, se studiază mișcările relative între elementul flexibil E și elementul rigid R mai întâi pe cazul simplu al transmisiei armonice cu fricțiune din fig. 5.11.

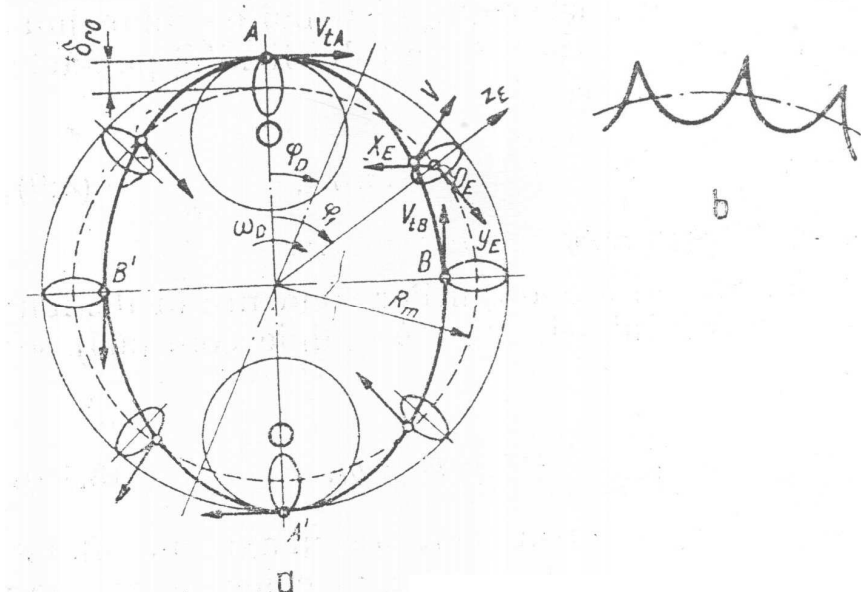


Fig. 5.11 Mișcările relative element flexibil - element rigid în transmisia armonică cu fricțiune

Se consideră elementul flexibil E , de grosime mică (tub cu pereți subțiri), mobil, rulând cu suprafața lui mediană pe elementul rigid R într-un sistem de referință legat de suprafața elementului flexibil nedeformat cu originea în punctul O_E și axele $O_E z_E$ pe direcție radială, $O_E y_E$ pe direcție tangențială și $O_E x_E$ pe direcție axială. În lungul acestor axe se produc cele trei deplasări notate cu δ_r , δ_t respectiv δ_a . Întrucât deplasarea axială δ_a nu influențează cinematica transmisiei (influențează uzura și randamentul), în cele ce urmează se va studia mișcarea relativă în planul $y_E O_E z_E$ (planul desenului).

Dacă se admite că deformatorul produce **deformații radiale** date de o funcție periodică de forma:

$$\delta_r = F_1(\varphi_1) = \delta_{r0} \cdot \cos 2 \cdot \varphi_1 \quad (5.9)$$

unde: δ_{r0} - deformația maximă (inițială) obținută la introducerea elementului deformat în interiorul elementului flexibil;

φ_1 - unghiul de poziție al secțiunii considerate față de axa mare AA' a deformatului.

Deoarece elementul flexibil este considerat inextensibil, **deformația tangențială** se obține prin integrare:

$$\delta_t = -\int \delta_r \cdot d\varphi_1 = -0.5 \cdot \delta_{r0} \cdot \sin 2 \cdot \varphi_1 \quad (5.10)$$

Cele două deformații radială și tangențială dau tabloul static al deformării elementului flexibil.

La rotirea elementului deformat cu unghiul φ_D , poziția secțiunii considerate în raport cu deformatul este determinată de unghiul $\varphi = \varphi_1 - \varphi_D$. Astfel, imaginea în mișcare a deformării elementului flexibil este oferită de relațiile:

$$\delta_r = \delta_{r0} \cdot \cos 2(\varphi_1 - \varphi_D) \quad (5.11 \text{ a})$$

$$\delta_t = -0.5 \cdot \delta_{r0} \cdot \sin 2(\varphi_1 - \varphi_D) \quad (5.11 \text{ b})$$

Pentru $\varphi_1 = \text{constant}$ (elementul flexibil este nerotitor), relațiile anterioare reprezintă o curbă închisă, trasată cu linie subțire (fig. 5.11, a). La rotirea elementului flexibil E al unei transmisii armonice, traiectoria punctului considerat pe acest element se desfașoară ca în detaliul reprezentat în fig. 5.11, b.

Componentele vitezelor relative, radială și tangențială, ale punctelor de pe elementul rigid R se obțin prin derivarea, în raport cu timpul, a celor două deplasări :

$$v_r = d\delta_r / dt = 2 \cdot \delta_{r0} \cdot \omega_D \cdot \sin 2(\varphi_1 - \varphi_D) \quad (5.12)$$

$$v_t = d\delta_t / dt = \delta_{r0} \cdot \omega_D \cdot \cos 2(\varphi_1 - \varphi_D)$$

În fig. 5.11, a sunt reprezentate fiecare din cele două componente v_r și v_t pentru opt poziții φ_1 (pornind din punctul A, pentru o rotație completă, cu unghiuri egale de 45^0) ale elementului deformat D .

Se constată că în punctele A (când $\varphi_I = 0$) și B (când $\varphi_I = \pi/2$), corespunzătoare vârfurilor curbei descrise de elementul deformator, vitezele radiale sunt nule ($v_{rA} = v_{rB} = 0$), iar componentele tangențiale au valori maxime egale ca mărime ($v_{tA} = v_{tB} = \delta_{r0} \cdot \omega_D$) și de sensuri contrare. Reprezentarea grafică a variației componentelor vitezei relative a elementului rigid față de elementul flexibil, la rotirea elementului deformator, este dată în fig. 5.12.

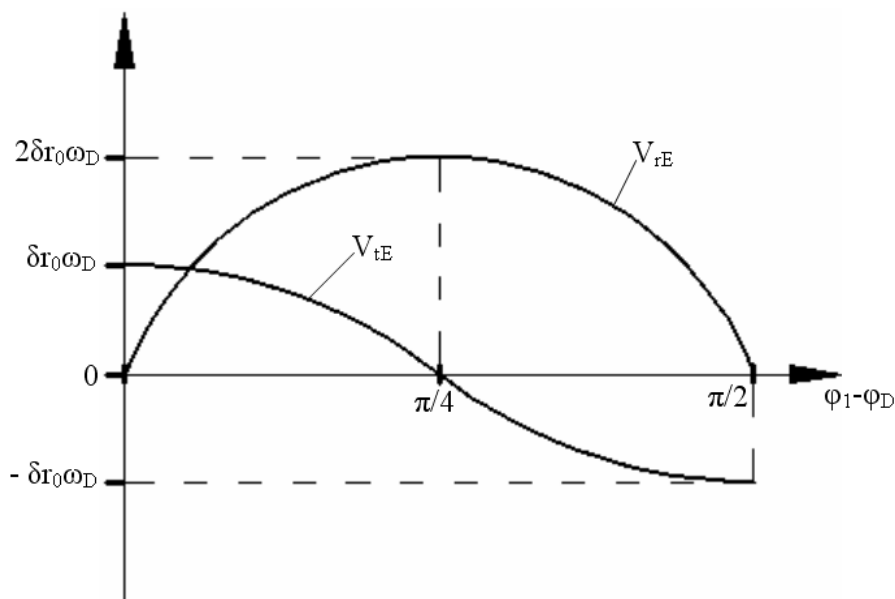


Fig. 5.12 Variația vitezelor relative element flexibil - element rigid

În cazul real, la o **transmisie armonică dințată**, trecând de la transmisia armonică cu fricțiune, în punctul A are loc contactul flancurilor a doi dinți de pe elementul flexibil E și rigid R, ca în fig. 5.13, la o distanță R_φ de la axa transmisiei. Reprezentând vitezele relative prin componentele v_{rE} și v_{tE} pentru punctul de contact aflat pe elementul flexibil și viteza v_R pentru punctul de pe elementul rigid, aceasta din urmă se poate stabili prin calcul, impunând condiția cunoscută din teoria angrenajelor: în polul angrenării, proiecțiile vitezelor relative ale dinților în contact pe direcția normalei comune N - N sunt egale, rezultând:

$$v_r \cdot \cos(90 - \alpha_\varphi) + v_t \cdot \cos \alpha_\varphi = v_R \cdot \cos \alpha_\varphi \quad (5.13)$$

din care se poate scrie viteza punctului aflat pe elementul rigid:

$$v_R = v_{tE} + v_{rE} \cdot \operatorname{tg} \alpha_\varphi \quad (5.14)$$

Relația anterioară poate fi utilizată și pentru calculul unghiului de profil al danturii în condițiile respectării angrenării la raza R_φ , obținând:

$$\alpha_\varphi = \operatorname{arctg} \frac{v_R - v_{tE}}{v_{rE}} \quad (5.15)$$

dacă se cunosc cele trei viteze, între care v_{tE} și v_{rE} sunt funcție de unghiul de poziție φ al secțiunii.

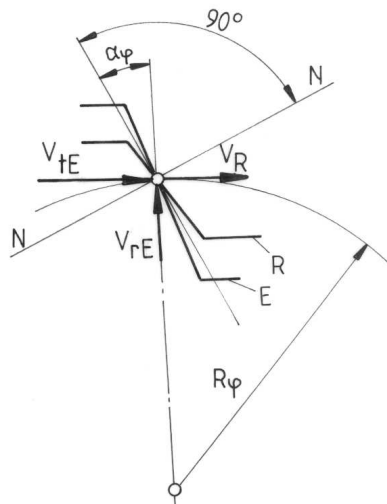


Fig. 5.14 Vitezele relative la transmisia armonică dințată

Viteza relativă v_R poate fi calculată funcție de viteza v_D a elementului deformator folosind relația raportului de transmitere:

$$i_{DE}^R = 1 - i_{DR}^E = 1 - \frac{v_D}{v_R} \quad (5.16)$$

care scris cu relația (5.2) rezultă:

$$v_R = \frac{v_D}{1 - i_{DE}^R} = \frac{v_D \cdot \Delta z}{z_R} \quad (5.17)$$

În funcție de unghiul de poziție φ_1 se evidentiază următoarele situații:

- $\varphi_1 = 0$ - angrenarea dinților are loc pe axa mare a deformatorului, când v_{tE} are valoare maximă și $v_{rE} = 0$, de unde rezultă că viteza punctului de contact de pe elementul rigid este egală cu componenta tangențială a vitezei de pe elementul flexibil ($v_R = v_{tE}$), deci nu apare alunecare între elementele danturate;
- $\varphi_1 = \pi/4$ - cele două componente ale vitezei elementului flexibil sunt $v_{tE} = 0$ și v_{rE} cu valoare maximă, din care se obține viteza elementului rigid: $v_R = v_{rE} \cdot \operatorname{tg} \alpha_\varphi$, transmiterea mișcării se realizează numai datorită efectului de pană însoțită de alunecare sub unghiul α_φ ;
- $\pi/4 < \varphi_1 \leq \pi/2$ - componenta tangențială a vitezei elementului flexibil v_{tE} are valori negative, iar cea radială scade (v_{rE} devine zero la $\varphi = \pi/2$), astfel că transmiterea mișcării se poate realiza numai pe baza efectului de pană sub unghi α_φ , care crește odată cu creșterea unghiului de poziție al brațului deformatorului.

Aceste concluzii se au în vedere la stabilirea elementelor danturii transmisiei armonice pe baza unui algoritm ce reprezintă pozițiile succesive ale dinților pentru o transmisie cu element deformator cu patru role.

Profilul dinților elementelor conjugate ale unei transmisii armonice se determină pe baza teoriei generale a angrenării, cu particularități legate de mișcările relative dintre dinți, expuse anterior.

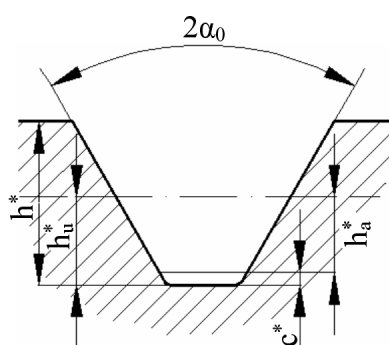


Fig. 5.15 Profilul de referință al dinților

Din punct de vedere geometric se utilizează trei *tipuri de profile*, pentru dinte triunghiular sau evolventic, elementele geometrice ale profilurilor de referință (fig.5.15) recomandate fiind indicate în tabelul 5.1, cu următoarele semnificații:

α_0 - unghiul profilului;

h_a^* - coeficientul înălțimii capului de referință;

c^* - coeficientul jocului radial de referință;

h_u^* - coeficientul înălțimii utilizabile a profilului.

Tabelul 5.1

Tipul	α_0 [°]	h_a^*	h^*	c^*	h_u^*
I	20	1	1.65 - 1.95	0.35	1.3 - 1.6
II	30	1	1.6 - 1.8	0.2	1.4 - 1.6
III	20	0.35	1.35	0.35	1

5.5. Calculul de rezistență al transmisiei armonice

Pentru efectuarea calculului de dimensionare și verificare al elementelor constructive dintr-o transmisie armonică (se va nota prescurtat **TA**), se studiază mai întâi *solicitările* care apar în timpul interacțiunii între elemente și *modurile de deteriorare* a transmisiei.

5.5.1. Solicitări în transmisiile armonice

În fig. 5.16 este reprezentată *schema forțelor* care solicită elementele constructive ale unei transmisii armonice, astfel:

a - interacțiunea dintre dinți; **b**, **c** - interacțiunea dintre elementul flexibil și elementul deformat. Notațiile corespund funcționării **STA** ca *reductor* (element flexibil rotitor și element rigid staționar), iar notațiile cu asterisk (*) pentru funcționarea ca *multiplicator* (element flexibil nerotitor și element rigid mobil).

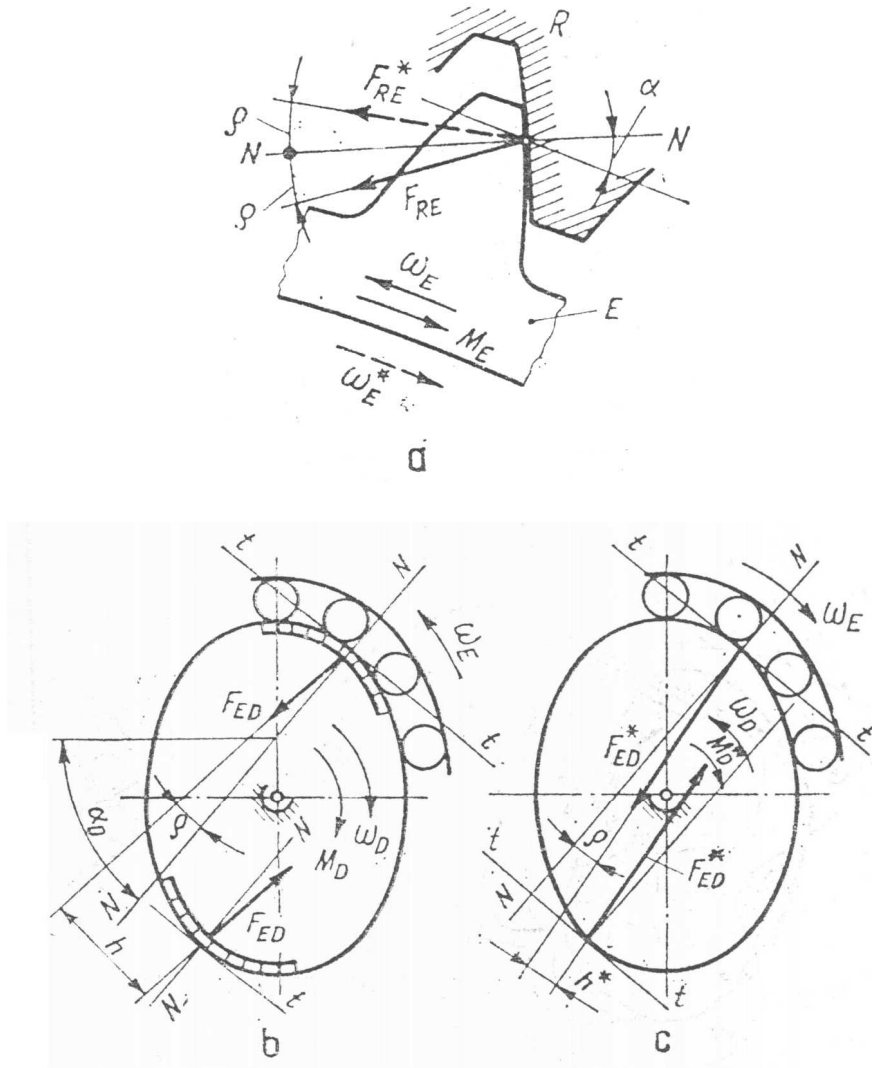


Fig. 5.16 Forțe între elementele constructive ale STA

a) *Interacțiunea dintre dinții elementului flexibil E și elementului rigid R* este pusă în evidență prin apariția unei forțe F_{RE} , respectiv F_{RE}^* aplicată în punctul de contact al flancurilor și care formează un unghi de frecare ρ față de normala comună N-N. Astfel, acțiunea elementului flexibil asupra celui rigid este data de o forță $F_{ER} = F_{RE}$, respectiv

$F_{ER}^* = F_{RE}^*$ care formează unghiul $\alpha + \rho$ pentru zona de intrare în angrenare și unghiul $\alpha - \rho$ pentru zona de ieșire din angrenare (la transmisia armonică reductoare), respectiv unghiurile $\alpha - \rho$ și $\alpha + \rho$ (la transmisia armonică multiplicatoare).

Schimbarea formei elementului flexibil influențează și condițiile angrenării, existând următoarele posibilități reprezentate în fig. 5.17.

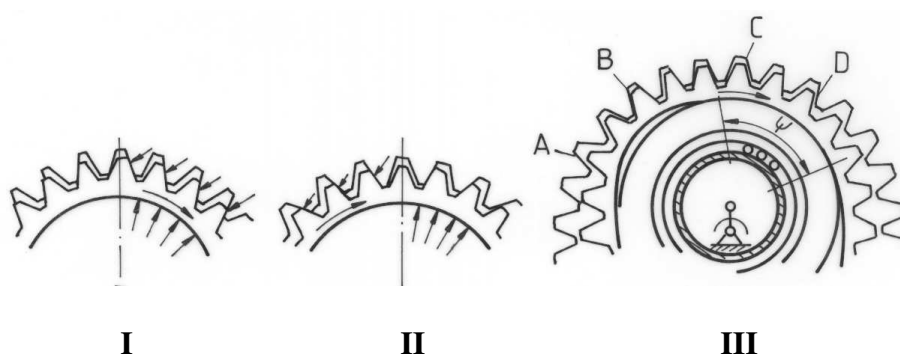


Fig. 5.17 Condiții de angrenare în STA

I - zona de angrenare coincide cu zona de apăsare a elementului deformat pe elementul flexibil: intervine la transmisiile cu parametrul δ_{r0} mult mai mic decât modulul m al danturii, iar coeficienții deplasărilor de profil sunt $x_R < x_E$;

II - zona de angrenare este în urma zonei de apăsare: pentru cazul când $\delta_{r0} \gg m$ și $x_R > x_E$;

III - angrenare cu deformare extinsă, la care interacțiunea din angrenaj se produce într-o zonă mărită (există un număr mare de dinți în contact simultan) și este caracterizată prin apariția a trei zone distincte: de intrare în angrenare, de angrenare propriu-zisă (deoarece nu există mișcare relativă între dinți elementul flexibil și cel rigid funcționează ca îmbinare) și zona de ieșire din angrenare. Aceasta variantă de interacțiune dintre elementul flexibil și elementul rigid asigură capacitatea portantă maximă transmisiei armonice și se obține cu următorii parametri: $\delta_{r0} = (1 \dots 1.1) \cdot m$ și $x_R \cong x_E$.

b) Interacțiunea dintre elementul flexibil E și elementul deformator D este caracterizată de apariția unei forțe F_{ED} , respectiv F_{ED}^* aplicată în punctul de contact al rozelor elementului deformator cu elementul flexibil și care formează un unghi ρ cu direcția normalei comune N-N.

Se constată că mărimea brațului h al cuplului de forțe F_{ED} este mai mare în regim de reductor (fig. 5.17, b) decât mărimea h^* în cazul funcționării transmisiei armonice ca multiplicator (fig. 5.17, c), iar mărimile forțelor sunt în proporție inversă: $F_{ED} \ll F_{ED}^*$ la transmiterea aceluiași moment de torsiune M_D .

Asupra mărimii forțelor F_{ED} , respectiv F_{ED}^* și a distanțelor h , respectiv h^* influențează și tipul interacțiunii dintre elementele danturate E și R , cum arată fig. 5.16.

La variantele de angrenare **I** și **II** din fig. 5.17, cu deformare limitată a elementului flexibil, corespunde o localizare a interacțiunii din angrenaj și dintre elementul flexibil și deformator cu braț h , respectiv h^* mic, rezultând o sollicitare locală cu distribuție elipsoidală cu un maxim mai pronunțat, deci forța rezultantă F_{ED} mai mare (fig. 5.18, a).

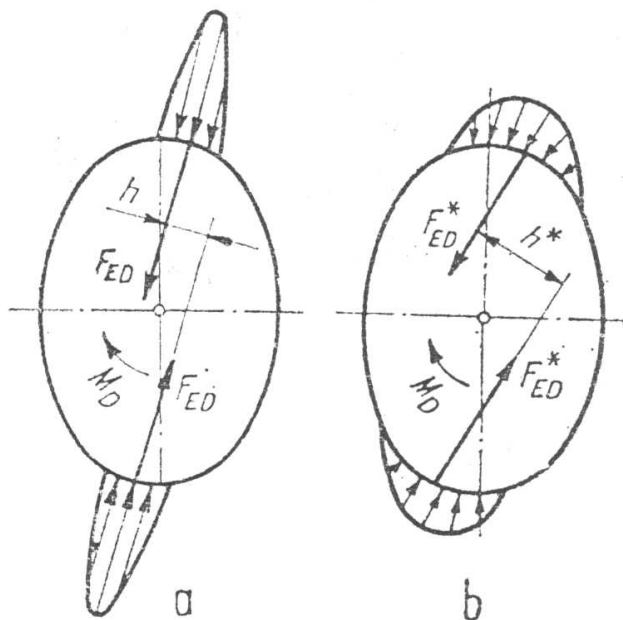


Fig. 5.18 Solicitări de contact între $E - D$ la STA

La varianta de angrenare **III** din fig. 5.17, cu deformare extinsă, interacțiunea se produce într-o zonă mărită, și corespunzător este mărită și zona de interacțiune dintre elementul flexibil și elementul deformat (ca în fig. 5.18, b) care are un maxim al elipsoidului tensiunilor de contact mai coborât, ceea ce implică apariția unei forțe rezultante F_{ED} mai mică cu brațul cuplului de forțe de interacțiune h^* mai mare.

Forțele de interacțiune dintre elementele danturate (flexibil, rigid) și dintre elementul flexibil și elementul deformat produc solicitări complexe în elementele constructive ale transmisiei armonice danturate. **Distribuția tensiunilor** în elementul cel mai solicitat (elementul flexibil) poate fi pusă în evidență prin utilizarea unor traductori rezistivi (mărci tensometrice) montați(e) pe corpul elementului flexibil în timpul rotirii elementului deformat. Mărimea și sensul acestor tensiuni depind de: condițiile de angrenare cu elementul rigid, turația deformatului, numărul brațelor deformatului și sarcina (încărcarea) ce trebuie transmisă.

În toate variantele de încărcare, tensiunile la funcționarea în regim de multiplicator a transmisiei armonice sunt cu 5 - 10% mai mari decât la funcționarea ca reductor, pentru același moment la elementul flexibil.

5.5.2. Modurile de deteriorare a transmisiilor armonice

Datorită construcției și funcționării TA în regim dinamic, pentru transmiterea puterii și mișcării de la elementul conducător la elementul condus, solicitările care apar la interacțiunea elementelor constructive (deformat, flexibil și rigid) pot determina distrugerea acestora prin următoarele fenomene:

- **uzarea flancurilor dinților** elementelor flexibil și rigid (condiție utilizată în calculul de dimensionare);
- **forfecarea dinților** la bază: solicitare mai puțin importantă datorită dimensiunilor mici ale dinților;
- **ruperea prin oboseală a elementului flexibil** (condiție de verificare la solicitarea variabilă de torsiune a elementului flexibil);
- **încălzirea** transmisiei armonice (condiție de verificare a limitei termice);
- **durabilitatea rulmenților elementului deformat** - este impusă de beneficiar sau proiectant, urmată de alegerea rulmenților standardizați pe baza algoritmului de calcul prevăzut de firmele producătoare;

- *rigiditatea elementului deformator și elementului rigid* - condiție constructivă în cazul apariției suprasarcinilor.

Practic, s-a constatat că, respectând recomandările privind construcția elementelor unei transmisii armonice, calculul de rezistență se poate reduce la:

- dimensionarea danturii din condiția de rezistență la uzare;
- verificarea elementului flexibil la oboseală;
- calculul termic.

a) Dimensionarea danturii elementelor flexibil și rigid

În vederea asigurării unei durabilități ridicate pentru transmisiile armonice, se limitează tensiunea de contact dintre dinții în angrenare, considerând distribuția acesteia uniformă pe flancurile dinților.

Pentru cazul cel mai utilizat al unei danturi triunghiulare a dinților elementului flexibil E , schema de calcul este reprezentată în fig. 5.19, folosind următoarele notații: h_a - înălțimea activă a dinților; α - unghiul profilului dintelui; σ_k - tensiunea de contact.

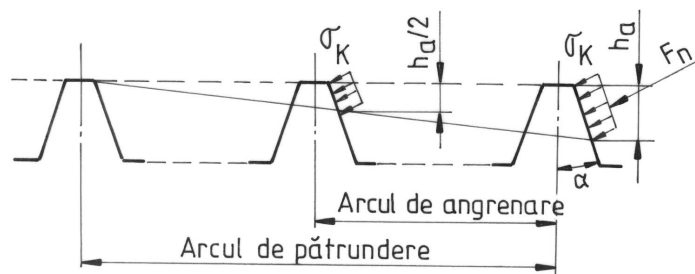


Fig. 5.19 Schema încărcării dinților

Dacă se iau în considerare numai contactele cu înălțimea între $(0.5...1) \cdot h_a$ se stabilește *tensiunea medie de contact* între elementul flexibil și elementul rigid în funcție de forța normală rezultantă pe flancul dintelui F_n și suprafața totală de contact S cu relația:

$$\sigma_k = \frac{F_n}{S} = \frac{F_t / \cos \alpha}{S} \leq \sigma_{ak} \quad (5.18)$$

în care: F_t - forța tangențială (periferică) transmisă între elementele danturate este calculată prin raportul:

$$F_t = \frac{2 \cdot T_c}{D_E} \quad (5.19)$$

unde: T_c este momentul de torsiune de calcul transmis de arborele de turație mică al transmisiei armonice:

$$T_c = c_s \cdot T_E \quad (5.20)$$

considerând un coeficient de serviciu:

$$c_s = c_1 \cdot c_2 \quad (5.21)$$

în care: c_1, c_2 - coeficienți care țin seama de suprasarcini (tabelul 5.2), respectiv de clasa de precizie a execuției (tabelul 5.3) și $D_E = m \cdot z_E$ - diametrul de divizare al elementului flexibil, m - modulul danturii, z_E - numărul de dinți pentru elementul flexibil.

Suprafața totală de contact S se apreciază cu relația:

$$S = 0.75 \cdot h_a \cdot b \cdot z_a \quad (5.22)$$

în care: $h_a = k_h \cdot m$ - înălțimea activă a dintelui;

$b = \psi_d \cdot D_E$ - lățimea zonei de contact a dinților elementului rigid;

$z_a = k_z \cdot z_E$ - numărul de dinți cuprinși în arcul de angrenare.

Valorile medii pentru coeficienții din relațiile anterioare sunt:

$k_h = 1.3$, $k_z = 0.2$ și $\psi_d = 0.15 \dots 0.30$ (la transmisii de putere).

Din condiția (5.18) ca tensiunea efectivă de contact să nu depășească tensiunea admisibilă, se stabilește relația de calcul a diametrului de divizare pentru elementul flexibil:

$$D_E = \left(\frac{8 \cdot T_c}{3 \cdot k_h \cdot k_z \cdot \psi_d \cdot \sigma_{ak} \cdot \cos \alpha} \right)^{1/3} \quad (5.23)$$

care se rotunjește la o valoare superioară întreagă standardizată.

Tensiunea admisibilă de contact are valori recomandate astfel:

- pentru transmisiile armonice de uz general (elementele danturate din oțeluri îmbunătățite cu cca. 300 HB): $\sigma_{ak} = 10 \dots 30$ MPa;

- pentru sarcini de scurtă durată și la turații mici ale elementului deformat (zeci de rot/min): $\sigma_{ak} < 100$ MPa.

Numerele de dinți z_E și z_R se stabilesc în funcție de raportul de transmitere i și diferența numerelor de dinți ale elementului rigid și elementul flexibil Δz pentru cele două tipuri constructive de transmisii armonice:

- cu element flexibil rotitor:

$$z_E = i \cdot \Delta z ; \quad z_R = z_E + \Delta z \quad (5.24)$$

- cu element flexibil nerotitor :

$$z_R = i \cdot \Delta z ; \quad z_E = z_R - \Delta z \quad (5.25)$$

Modulul danturii elementului flexibil și elementului rigid se stabilește din relația diametrului de divizare:

$$m = \frac{D_E}{z_E} \quad (5.26)$$

Tabelul 5.2

$M_{\max} / M_{\text{nom}}$	Coeficientul c_I		
	Raportul de transmitere		
	100 – 160	160 – 250	250 – 400
1.2	1	1.1	1.2
1.6	1.1	1.2	1.3
2.5	1.2	1.3	1.4

Tabelul

5.3

Clasa de precizie	Coeficientul c_2		
	Turația deformatorului [rot/min]		
	1000	1000 – 1500	1500 – 3000
7 C	1	1.15	1.4
7 X	1.07	1.20	1.5
8 X	1.20	1.35	-

b) Verificarea elementului flexibil la oboseala

Practic, la transmisiile armonice calculul elementului flexibil la solicitări variabile de torsiune constă în determinarea tensiunii efective

τ_{tE} și compararea cu tensiunea admisibilă τ_{ta} , cu îndeplinirea inegalității: $\tau_{tE} \leq \tau_{at}$.

Tensiunea efectivă de torsiune din elementul flexibil este dată de relația:

$$\tau_{tE} = T_c \cdot c^3 \cdot \psi_g / D_E^3 \quad (5.27)$$

în care: c - coeficient care ține seama de repartitia eforturilor în elementul flexibil, cu valori indicate în tabelul 5.4 funcție de raportul dimensiunilor principale L/D și valoarea raportului de transmitere;

$\psi_g = D_E / g_2$ - coeficientul de grosime, dat în tabelul 5.5.

Tabelul 5.4

L / D	Raportul de transmitere		
	100 – 160	160 – 250	250 – 400
≥ 0.5	14	13	12
0.15...0.3	16	15	14

Tabelul 5.5

Raportul de transmitere	Grupa de material		
	I	II	III
100 – 160	80	85	90
160 – 250	85	90	95
250 – 400	90	95	100

Pentru grupa de material se recomandă următoarele categorii:

I - 19CrNi35, 40MoCrNi13;

II - oțeluri de arc, 41CrNi12;

III - 40Cr10

Rezistența admisibilă la torsiune se calculează cu relația:

$$\tau_{at} = 0.22 \cdot R_{p0.2E} \cdot c_3 / c_a \cdot K_\tau \quad (5.28)$$

în care: $R_{p0.2E}$ - limita de curgere a materialului elementului flexibil;

c_3 - coeficient care ține seama de condițiile de lucru și durabilitatea impusă (tabelul 5.6);

c_a - coeficient de siguranță admisibil; are valori recomandate pentru:

- mașini de ridicat: $c_a \geq 1.6$;

- alte acționări : $c_a \geq 1.4$;

iar $K\tau$ - coeficient de concentrare a tensiunilor alese din tabelul 5.7.

Tabelul 5.6

Durata de funcționare	Regimul de lucru		
	ușor	mijlociu	greu
1 000	1.22	1.17	1.1
2 500	1.10	1.05	1.0
6 300	1.00	0.95	0.9
10 000	0.95	0.90	0.85
25 000	0.85	0.81	0.77

Tabelul 5.7

Metoda de danturare	Raportul de transmitere	
	100	400
Cuțit roată	2.2	1.7
Freză melc	2	1.6

c) Verificarea limitei termice

Datorită încărcării elementelor unei transmisii armonice, în timpul funcționării temperatura efectivă t_{ef} poate crește peste nivelul termic admis de 85°C , care reprezintă limita impusă de utilizarea uleiurilor de transmisii.

Calculul de verificare se efectuează similar cu cel al transmisiilor cu roți dințate clasice și constă în stabilirea inegalității:

$$t_{ef} \leq t_a \quad (5.29)$$

5.6. Randamentul transmisiilor armonice

În timpul funcționării unei transmisii armonice apar **pierderi de energie** de la elementul conducător la cel condus care au diferite *cauze*:

- frecarea dintre dinții în angrenare;
- frecarea în rulmenții deformativului și în celelalte lagăre;
- frecarea în cuplajul de legare a elementului flexibil la arborele de turație mică (la transmisia cu element flexibil rotitor) sau la carcasă (la transmisia cu element flexibil nerotitor);
- fenomenul de histerezis al materialului elementului flexibil și inelului de rigidizare.

Evaluarea acestor pierderi au dus la stabilirea unor relații de calcul a randamentului; cea mai utilizată în cazul transmisiilor armonice funcționând în regim de reductor are forma :

$$\eta = \frac{1}{\left(1 + 0.84 \cdot \frac{\mu_1}{\cos^2 \alpha}\right) \cdot \left(1 + \mu_2 \cdot \frac{d'}{D_E} \cdot i \cdot \operatorname{tg} \alpha\right)} \quad (5.30)$$

în care: d' - diametrul căii de rulare a inelului interior al rulmentului deformativului;

μ_1 - coeficientul de frecare convențional în angrenaj (cu valori între **0,025** și **0,04**);

μ_2 - coeficientul de frecare convențional în rulmentul deformativului (ia valori între **0,0045** și **0,006**).

Pentru o **transmisie armonică** cu deformativ simplu care funcționează ca **reductor** se obține $\eta = 0,8 \dots 0,86$ și $\eta = 0,65 \dots 0,7$ la **transmisia multiplicatoare** (valori recomandate).

Practic: $\eta = 0,78 \dots 0,88$ pentru rapoarte de transmitere $i = 80 \dots 250$, valori care nu sunt egale de nici un alt tip de transmisie cu o singură treapta (angrenaj melcat, reductor planetar cu una, două sau trei roți centrale).

Randamentul transmisiilor armonice depinde într-o măsură importantă de condițiile de angrenare.

5.7. Aplicații ale sistemelor de transmitere armonice

Construcțiile de **STA** se utilizează în regim de reductor de turație de la elementul de acționare, ca multiplicator al mișcării de rotație sau ca angrenaj diferențial. Schemele principiului de funcționare în cele trei ipostaze sunt reprezentate în fig. 5.33 în care s-au notat elementele constructive: *R* - elementul rigid, *E* - elementul flexibil, *D* - deformatorul.

Fiecare poziție este caracterizată de raportul propriu de transmitere calculat funcție de raportul turațiilor arborilor din construcția transmisiei armonice definit de:

$$i = n_{intrare} / n_{ieșire} \quad (5.63)$$

Reductoarele de turație corespund funcțional schemelor din fig. 5.33 a, b, c cu următoarele caracteristici:

a *R* – fix, *D* – intrare, *E* – ieșire; raport de transmitere $-i$;

b *E* – fix, *D* – intrare, *R* – ieșire; raport de transmitere $-(i+1)$;

c *D* – fix, *E* – intrare, *R* – ieșire; raport de transmitere $\frac{i+1}{i}$.

Multiplicatoarele de turație au caracteristicile din fig. 5.35 d, e, f și corespunzător caracteristicile:

d *D* – fix, *R*– intrare, *E*– ieșire; raport de transmitere $\frac{i}{i+1}$;

e *R* – fix, *E* – intrare, *D* – ieșire; raport de transmitere $-\frac{1}{i}$;

f *E* – fix, *R* – intrare, *D* – ieșire; raport de transmitere $\frac{1}{i+1}$.

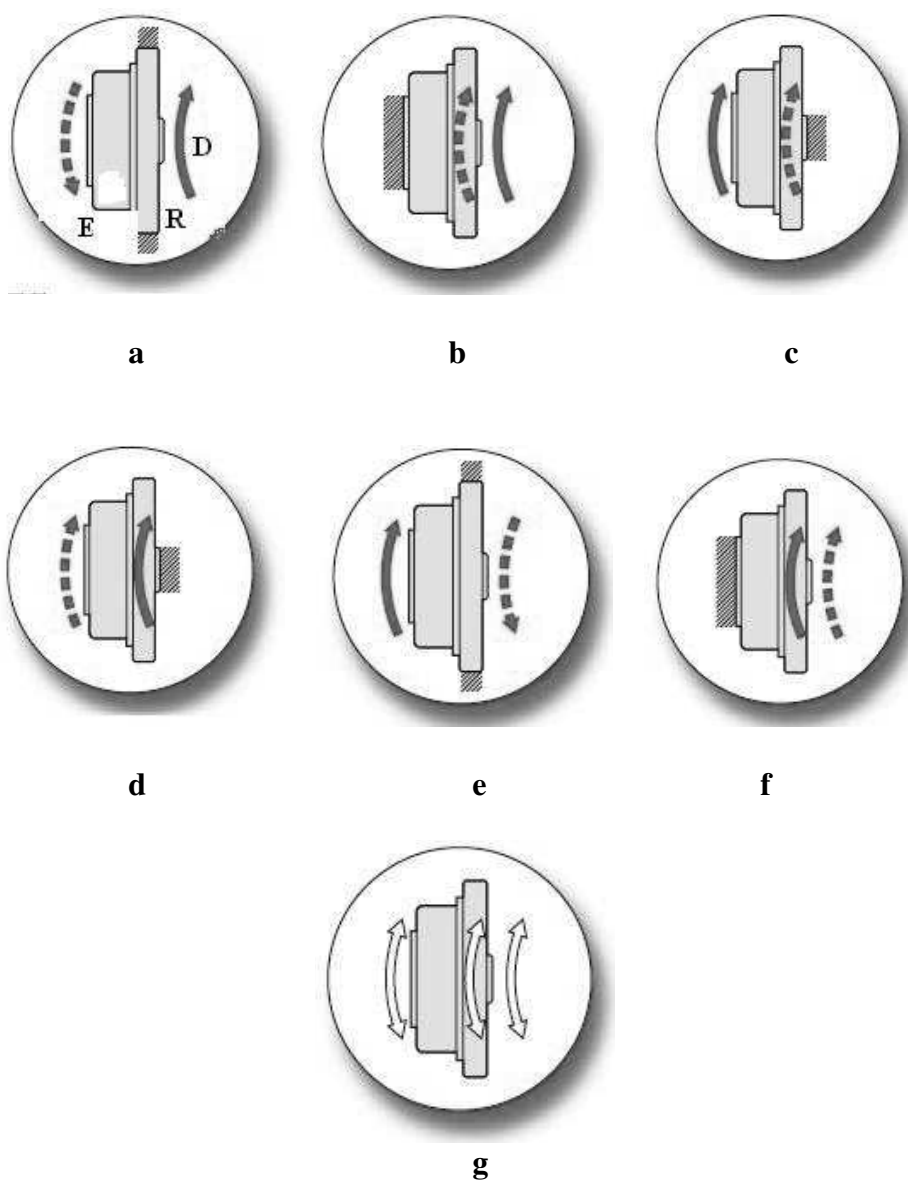


Fig. 5.33 Scheme de funcționare a STA

Funcțiile *diferențiale* (fig. 5.33, g) pot fi obținute prin combinarea vitezelor și sensului de rotație a celor trei elemente de bază a STA.

În construcțiile mecatronice, sistemele de transmitere armonice se regăsesc, cel mai des, sub formă de reductor.

O construcție tipică de **reductor de uz general** este redată în fig. 5.34 unde s-au notat: 1 - arbore de intrare, 2 - flanșă, 3- 4 - deformator tip camă fixat elastic pe 2, 5 - element flexibil dințat, 6 - element rigid dințat, 7 - arbore de ieșire, 8 - carcasă, 9 - suport cu talpă.

Dimensiunile pentru această construcție sunt standardizate funcție de diametrul de divizare al elementului rigid pentru valori cuprinse între 14 și 180 mm, iar raportul de transmitere $i = 72 \dots 320$.

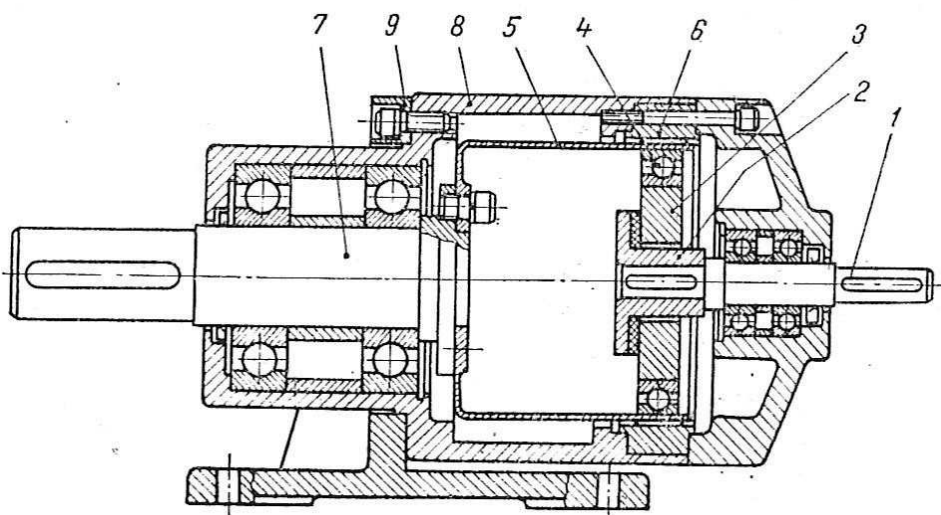


Fig. 5.34 Reductor armonic de uz general

Sistemul de transmitere armonic este înglobat în construcția de **motoreductoare** (fig. 5.35), realizate de firme din Rusia, la care parametrul caracteristic este diametrul interior al elementului flexibil între 80 și 160 mm, iar rapoartele de transmitere variază între 80 și 250, puterea motorului fiind $0,25 \dots 1,5$ kW la turația de 1500 rot/min.

Constructiv, se observă că deformatorul 2 este legat de arborele de intrare 1 prin bușa dințată 3, iar elementul flexibil 4 de arborele de ieșire 5 prin caneluri. Pentru rapoarte de transmitere mai mari $i = 400 \dots 2500$ transmisia armonică din figura de mai sus este precedată de o treaptă de angrenaje (cu axe fixe sau planetare).

Pentru $i = 6400 \dots 100000$ se realizează reductoare în două trepte.

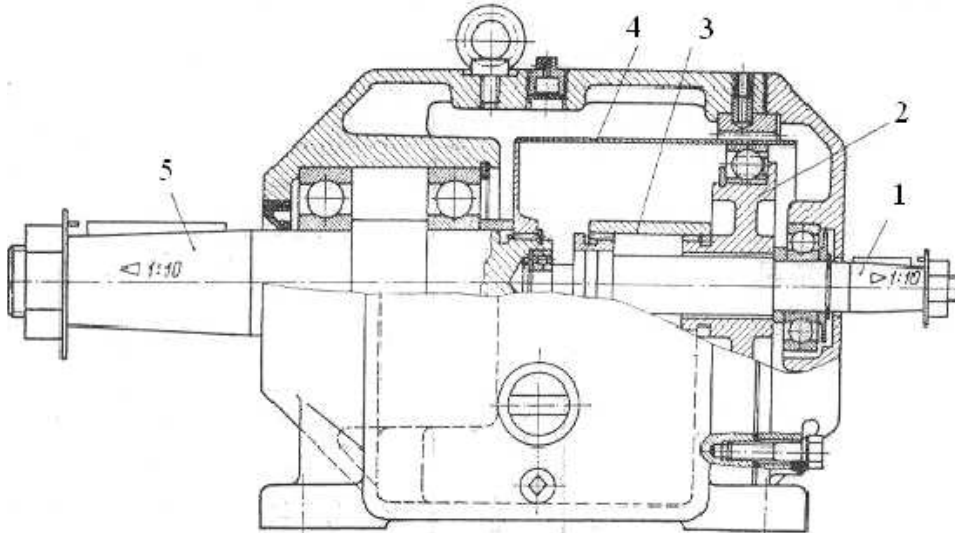


Fig. 5.35 Motoreductor armonic

În fig. 5.36 este reprezentat un motoreductor armonic format din motorul pas cu pas 1, deformatorul 2, dispus pe bușa intermediară 3 fixată pe capătul arborelui motorului, elementul flexibil 4 nerotitor legat prin caneluri de inelele 5 și 6 fixate pe carcasa 7, elementul rigid dințat 8 fixat pe arborele de ieșire 9 prin flanșa 10.

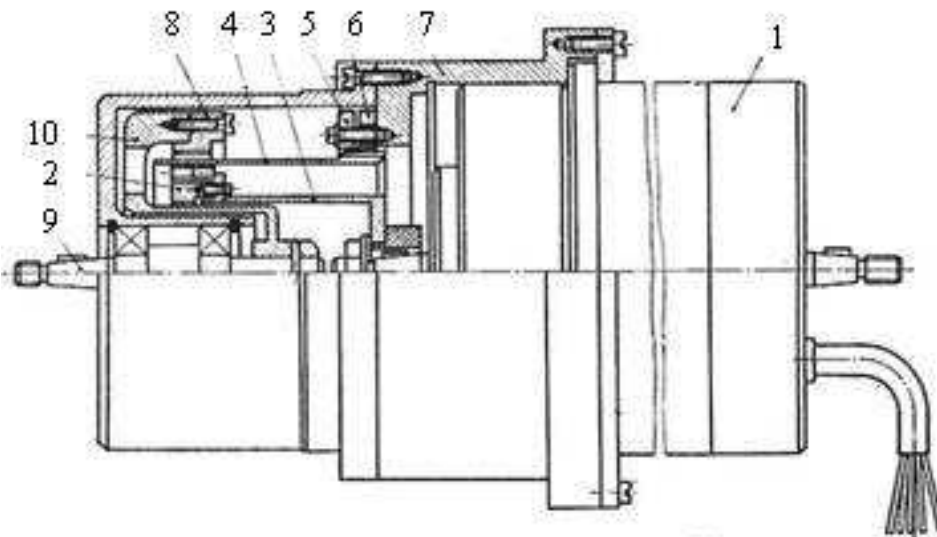


Fig. 5.35 Motoreductor armonic cu motor pas cu pas

Construcția unui sistem de transmitere armonic cu deformatoare cu discuri încorporat într-un motoreductor combinat, la care prima treaptă este cu angrenaje cilindrice, este reprezentat în fig. 5.37 și este utilizat la mecanismele de antrenare la sudarea recipientelor mari.

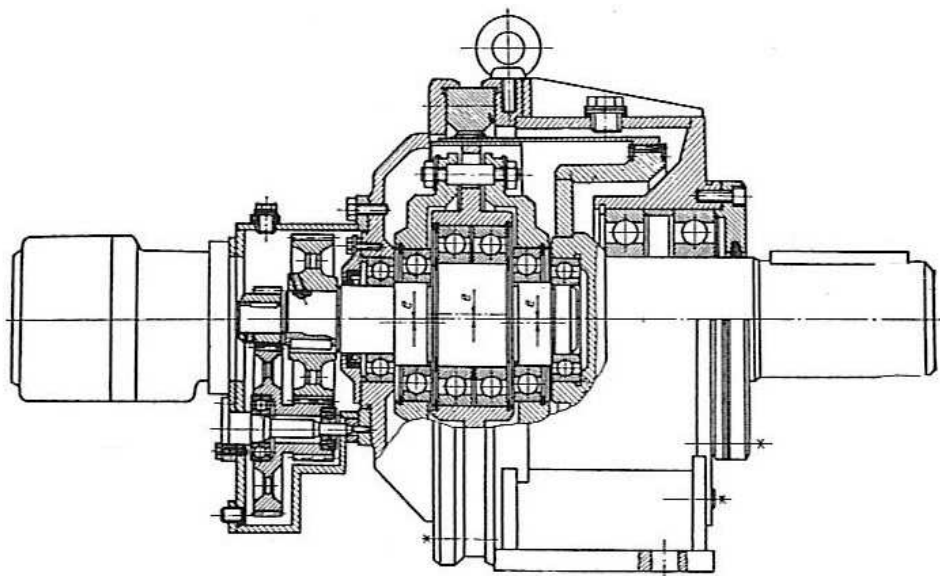


Fig. 5.37 Motoreductor în două trepte cu STA treapta de ieșire

Deoarece transmisiile cu element flexibil prins într-o singură parte nu asigură repartizarea uniformă a sarcinii pe lungimea dinților, neajuns accentuat în cazul puterilor mari de transmis și rapoarte $b/D_E \geq 0,3$, s-a adoptat soluția constructivă din fig. 5.38 care are elementul rigid dințat format dintr-un grup de discuri subțiri 2 dispuse pe brațele a ale flanșei arborelui 4. Brațele a și elementul flexibil 3, fixat la carcasă, trebuie să aibă rigidități egale.

Ungerea reductorului se realizează forțat: între deformatoarele de tip camă și elementul flexibil se introduce ulei în regim hidrodinamic.

Un exemplu de reductor armonic cu deformatoare dublu este arătat în fig. 5.39 cu următoarele elemente constructive: 1 - deformatoare, 2, 3 - rumeți, 4 - element flexibil, 5 - element rigid dințat fix, 6 - element rigid dințat mobil solidar cu arboreal de ieșire.

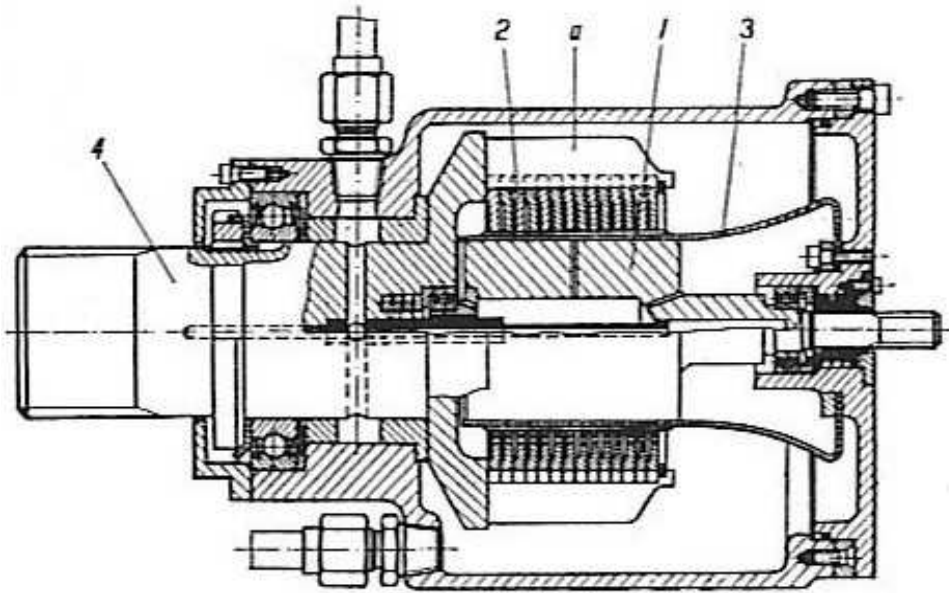


Fig. 5.38 Reductor armonic cu elementul rigid sub formă de discuri

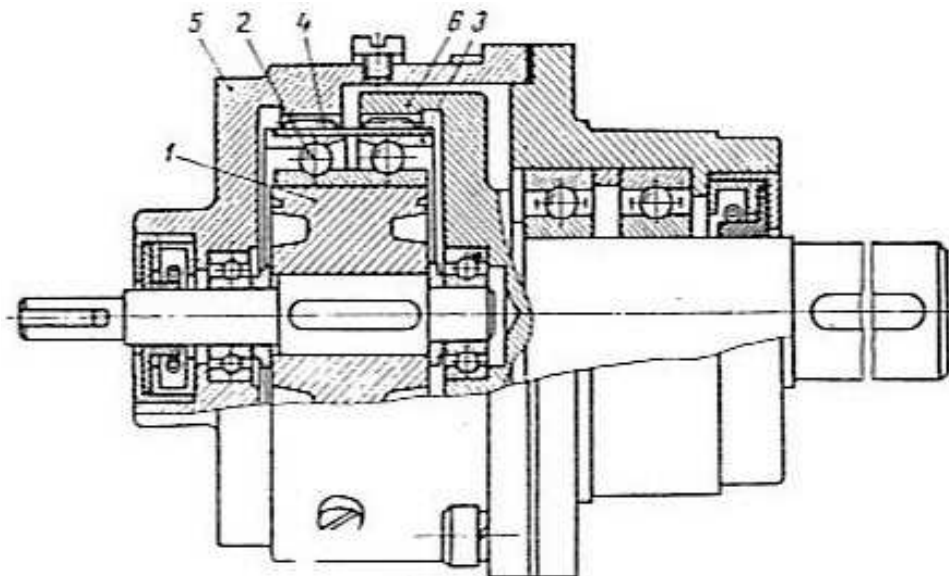


Fig. 5.39 Reductor armonic cu deformativ dublu

Dintre *transmissiile armonice cu deformatoare planetare* în fig. 5.40 este prezentat un motoreductor cu deformator planetar cu role de fricțiune, cu notațiile: 1 - motor, 2 - buctă, 3 - role-satețiți, 4 - separator, 5 – element flexibil (din material plastic), 6 – inel metalic de rigidizare, 7 – element rigid dințat (corp comun cu carcasa reductorului).

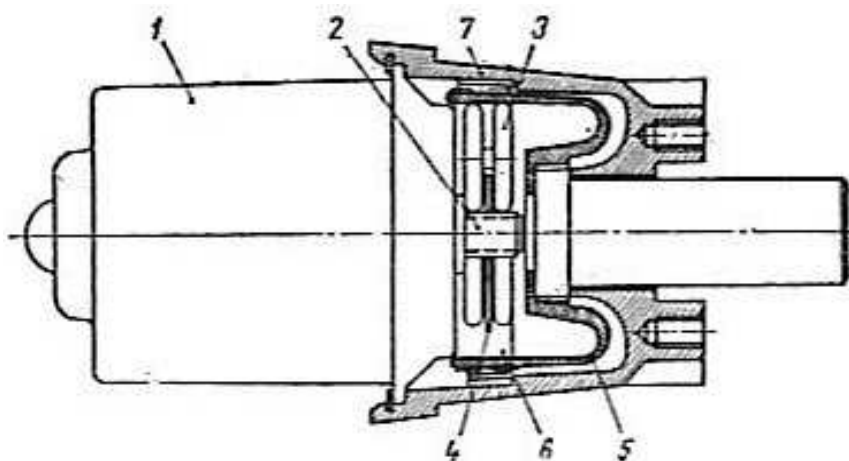


Fig. 5.40 Motoreductor cu deformator planetar

Experiența în proiectarea și producerea angrenajelor armonice a fost utilizată pentru realizarea unei transmisii revoluționare noi, *transmisia armonică planetară* care utilizează o roată inelară nerigidă pentru a atinge un joc între flancuri zero.

Schema cinematică a sistemului de mai sus arată ca în fig. 5.41 în care roata inelară este proiectată pentru a permite o mică deformare radială, suficientă pentru asigurarea unei preîncărcări între roată și sateliți care reduc spațiul între elementele angrenajului permițând nivele ale jocului dintre dinți de 1' sau mai puțin. Odată cu uzarea dinților angrenajului, această deformare radială acționează ca un arc rigid să compenseze spațiul dintre dinți care altfel ar cauza creșterea jocului între dinți. Aceasta crează și menține jocul la nivel foarte coborât, cu rigiditate torsională și randament ridicate.

Reprezentarea spațială și secționată a transmisiei armonice planetare se vede în figura 5.42 cu evidențierea celor trei elemente componente similare transmisiei armonice clasice.

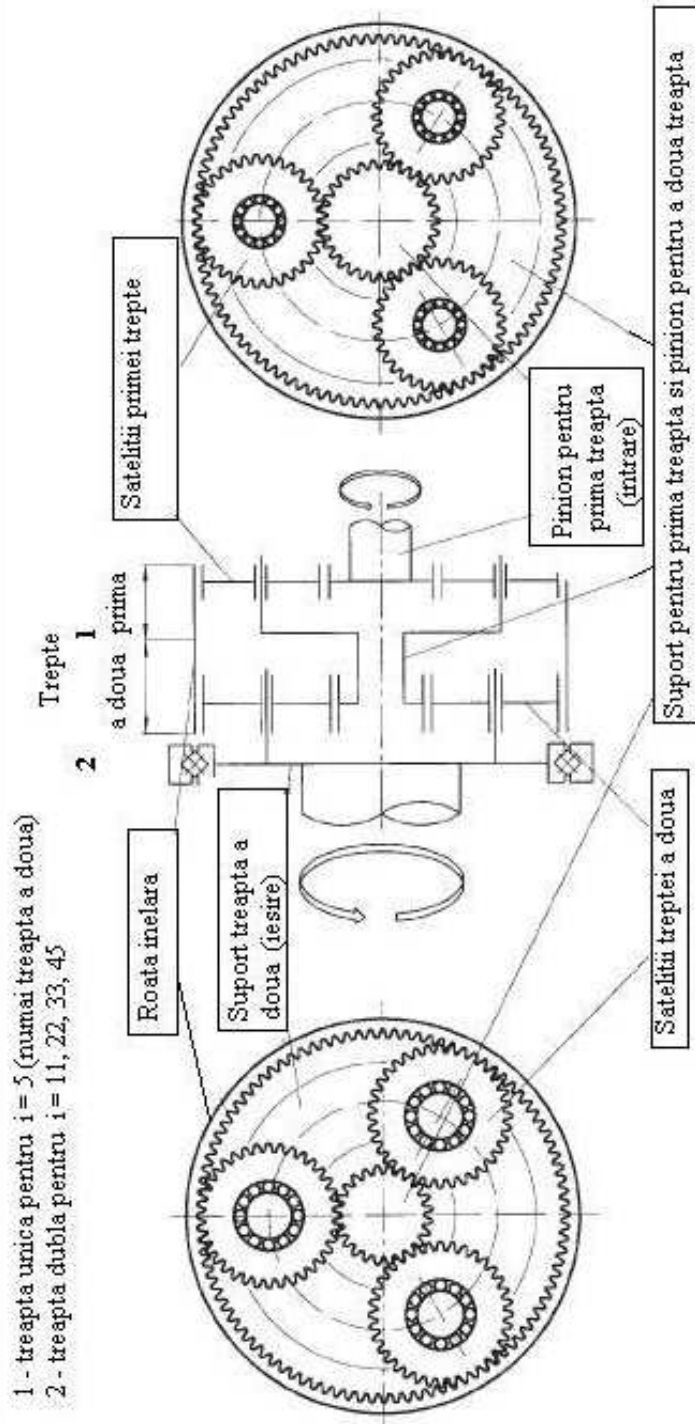


Fig. 5.41 Schema transmisiei armonice planetare

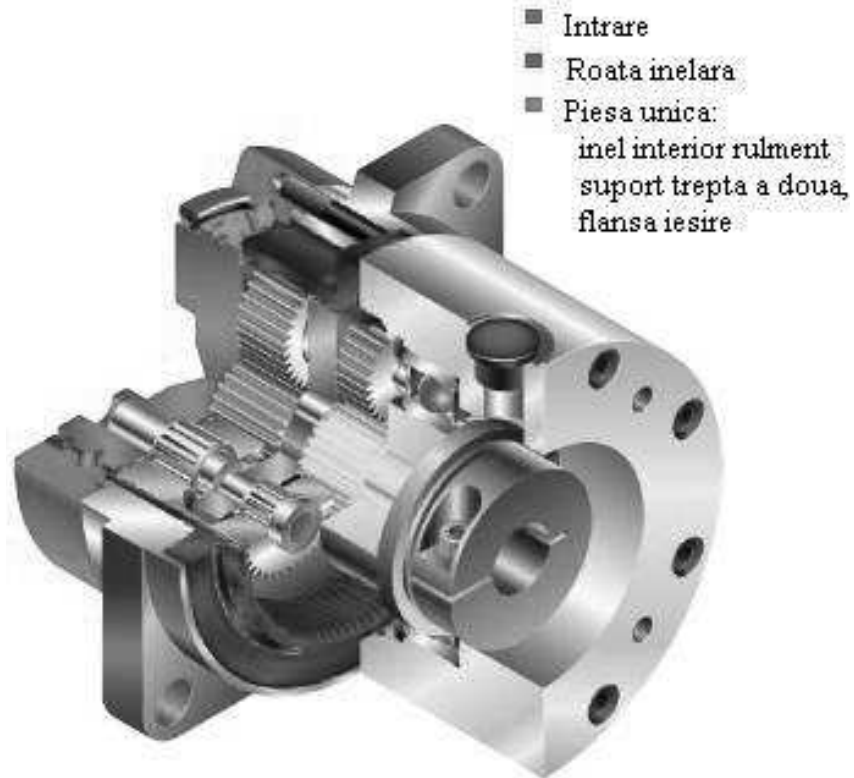


Fig. 5.42 Reductor armonic planetar

Transmisia armonică diferențială permite defazarea dinamică a elementelor dințate aflate în rotație. Aranjamentul acestora (fig. 5.43) este similar cu cel din interiorul unui mecanism de transmitere cu rostogolire având un arbore motor (intrarea) și ieșirea care se rotesc cu un raport al angrenajului, iar defazarea relativă poate fi schimbată dinamic prin rotirea arborelui motor.

Raportul de transmitere variază între 80 și 160, iar relațiile pentru reglarea dinamică sunt:

- pentru viteză:
$$n_{iesire} = n_{intrare} \pm \frac{n_{transmisie}}{i + 1} \quad (5.64)$$

- pentru moment:
$$T_{transmis} = \frac{T_{iesire}}{0,5 \cdot i} \quad (5.65)$$

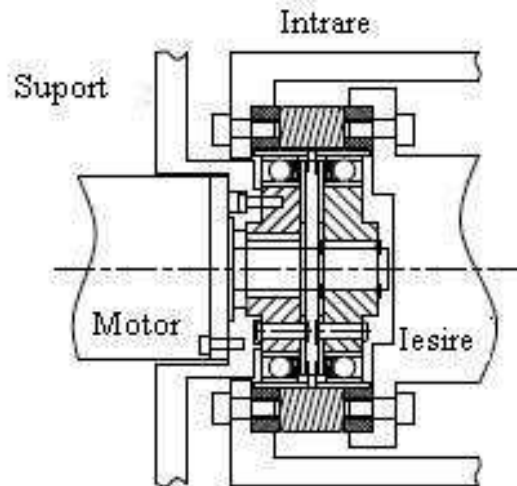


Fig. 5.43 Transmisie armonică diferențială

Actuatorii armonici sunt o împachetare integrală constând dintr-un encoder, servomotor și o transmisie armonică danturată de precizie care pot asigura mișcare precisă și capacitate de torsiune mare.

În practică se utilizează *STA miniaturale* (fig. 5.44) la care dimensiunile arborilor sunt între 5 și 14 mm, iar rapoartele de transmitere variază de la 30 la 100.

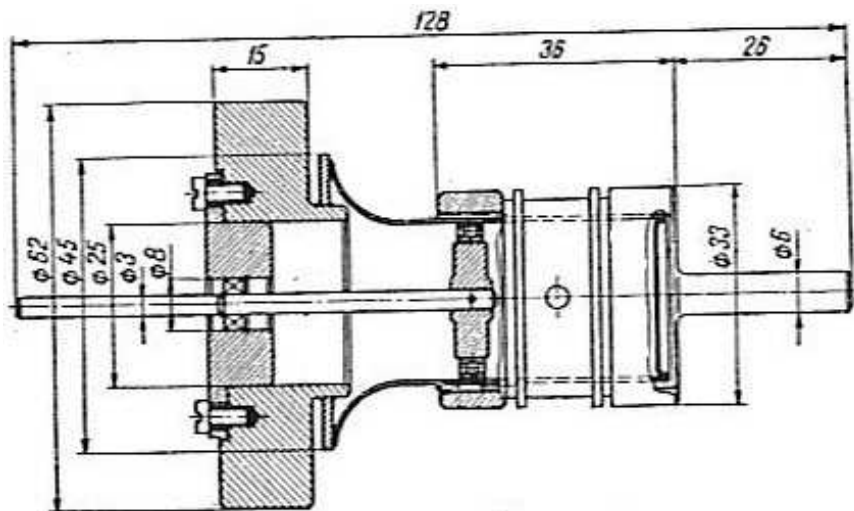


Fig. 5.44 Minitransmisie armonică etanșă

Pentru acționarea prin pereți etanși (în industria chimică, nave cosmice, etc.) se realizează STA etanșe cum sunt construcțiile din fig. 5.44 și 5.45. Etanșarea se realizează prin elementul flexibil fixat pe corpul recipientului în care se acționează.

La transmisia din fig. 5.45 deformatorul 1 este de tipul cu discuri, iar arboreal de intrare este rezemat numai pe un rulment 3. Elementul rigid dințat 4 este așezat în rulmenții 5 pe consola 6.

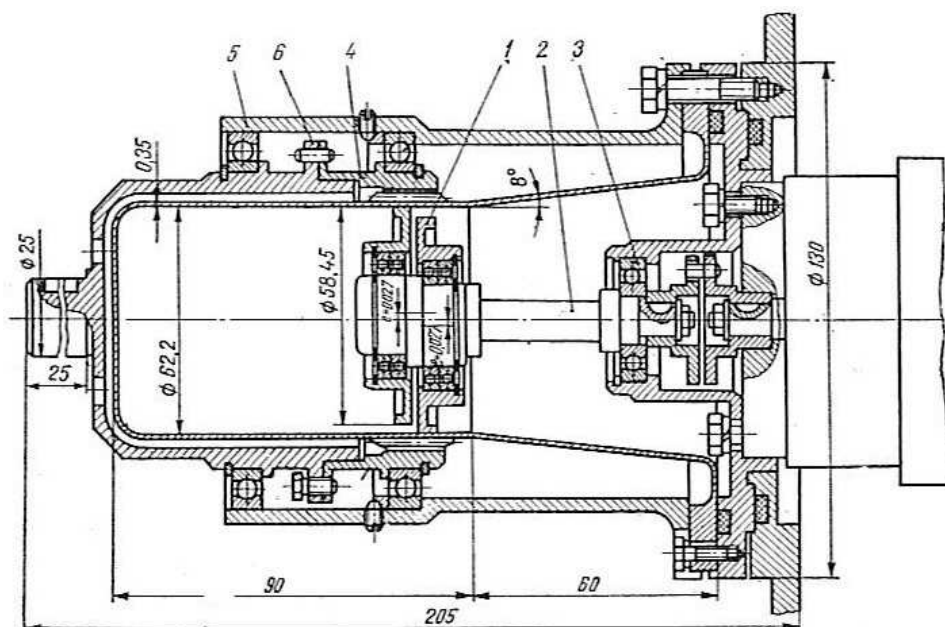


Fig. 5.45 Transmisie armonică etanșă

Îmbunătățirea performanțelor angrenajelor armonice s-a realizat prin proiectarea asistată de calculator a unui *profil sofisticat* (ne-evolventic) al dintelui, așa numitul „*profil în S*” reprezentat în fig. 5.46 (pentru rapoarte de transmitere mai mici ca 30:1), cu beneficii neegale de angrenajele armonice convenționale și anume dublarea momentului, durabilității și rigidității cu menținerea preciziei, randamentului și jocului dintre dinți.

La profilele tradiționale numai 15 % din numărul total al dinților sunt în contact, în timp ce pentru noul profil peste 30%. Creșterea

numărului de dinți în angrenare duce la o creștere cu 100% a rigidității torsionale în gama momentelor mici și medii.

Prin analiza matematică a cinematicii angrenării dintelui cu ajutorul calculatorului s-a constatat că unghiul de angrenare s-a dublat, iar prin mărirea razei de racordare la baza dintelui se reduce concentrarea de tensiuni, se dublează limita de oboseală și crește momentul maxim transmis. În plus o regiune mai mare de angrenare a dintelui conduce la o încărcare mai mare a rulmentului deformator, ceea ce face ca durabilitatea angrenajului să crească de mai bine de două ori (L_{50} crește de la 15000 ore la 35 000 ore).

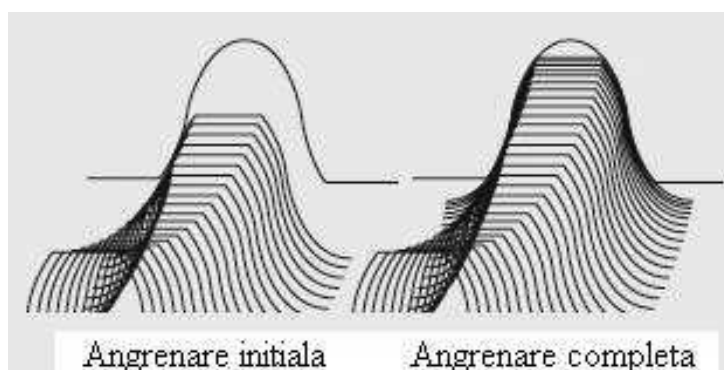


Fig. 5.46 Profilul îmbunătățit al dintelui STA

După cum rezultă din analiza cu element finit în combinație cu CAD, noua formă a dintelui unei transmisii armonice contribuie la reducerea cu 50% a dimensiunilor ansamblului față de proiectarea originală. Reducerea mărimii **STA** permite integrarea unității armonice direct în aplicații de transmisie de putere, automatizare și robotică., ceea ce micșorează mărimea produsului final și greutatea, elemente de proiectare importante în aproape toate tipurile de echipamente.

O caracteristică funcțională importantă pentru aplicațiile care utilizează **STA** este aceea că, deși elementul flexibil se deformează în timpul funcționării, *distrugerea prin oboseală nu este o problemă*, deoarece tensiunile sunt mult sub limita de rezistență a materialului. Durata de funcționare a transmisiei este determinată de durabilitatea rulmenților deformatorului. Durabilitatea dintelui roții depășește

durabilitatea rulmentului, atâta timp cât angrenajul este montat corect și lubrifiat și nu se depășesc limitele de moment și viteză.

De asemenea, **STA** determină un *joc între flancuri* mic sau zero, chiar după mii de ore de funcționare. Aceasta deoarece 10% până la 30% din dinții roții sunt în angrenare permanent (ex.: pentru un sistem cu raportul de transmitere 100:1 20 până la 60 de dinți sunt totdeauna în contact). Spre deosebire de acesta, posibil 6 dinți angrenează la un sistem de transmitere planetar și numai 1-2 dinți la un sistem de transmitere cu roți dințate. În plus ambele părți ale flancului fiecărui dinte sunt în angrenare.

Deoarece jocul dintre flancuri este definit ca diferența între spațiul dintre dinți și lățimea dintelui, acesta este zero la transmisia armonică. Jocul dintre dinți zero și precizia de poziționare, mai mare ca 1,5 minute de arc, face ca aceste sisteme de angrenaje să fie ideale pentru robotică și echipamente de automatizare uzinale.

STA au de asemenea randament ridicat (gama standard între 80% și 90%, măsurând pierderile efective de la arbore la arbore, nu pierderile datorate contactului dintre dinți) și sunt precise (cu unele modele poate fi obținută o precizie de poziționare de ± 30 secunde de arc).

Aceste caracteristici fac transmisiile armonice ideale pentru robotică. **STA** cu arbore găurit permite utilizarea cablurilor și liniilor aeriene de conectare cu efectorii finali prin centrul roții, care reduce dimensiunea transmisiei.

STA sunt de asemenea utilizate la mesele în coordonate, mașini de tipărit, echipamente medicale de afișare a imaginilor și echipamente de fabricare a semiconductorilor.

Domeniile cu aplicații ale sistemelor de transmitere armonice

- **Robotică** - beneficii ale **STA**:



- joc între flancuri
- precizie de poziționare ridicată;
 - nivel scăzut de vibrații;
- construcție compactă;
 - greutate

reducă contribuie la greutatea minimă a brațului robotului,

- se utilizează pentru oricare axă a robotului;
- articulații la roboți mici;
- sisteme de manipulare în vid a semiconductorilor.

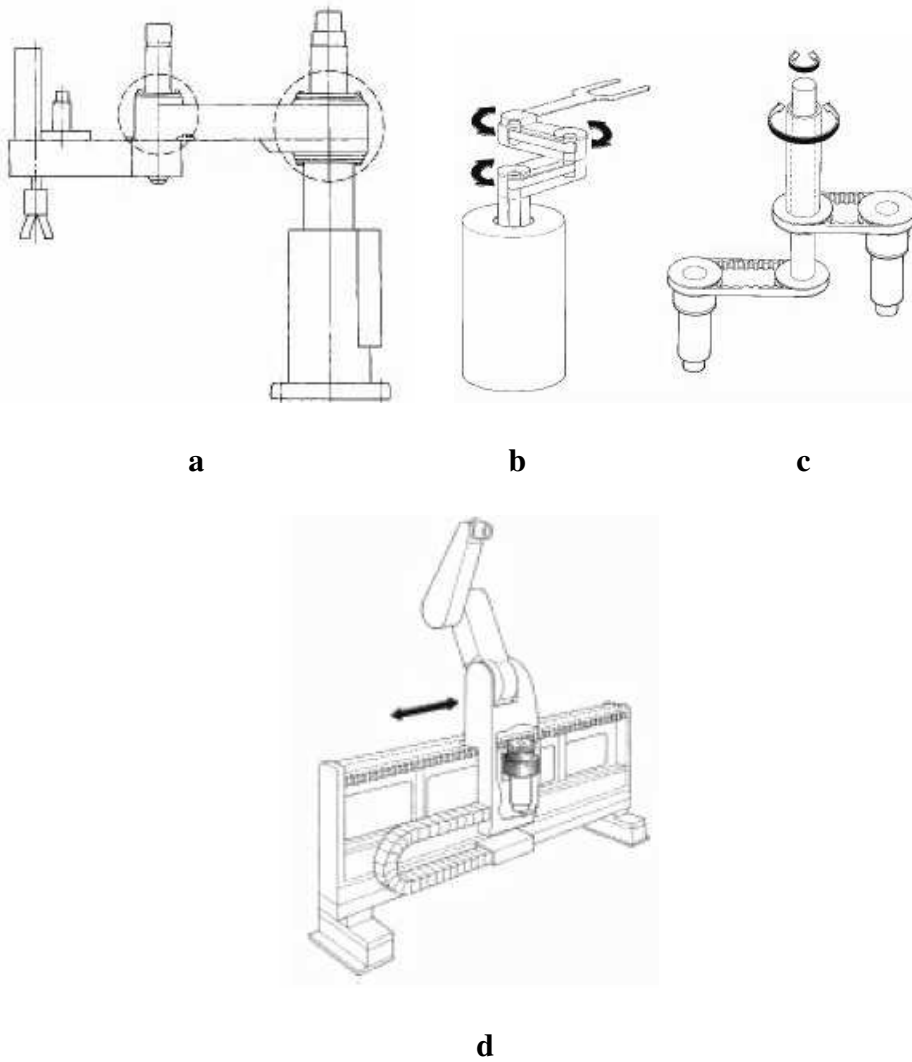


Fig. 5.47 Axe primare pentru roboți

Exemple de construcții din componența roboților care conțin sisteme de transmitere armonice sunt reprezentate în fig. 5.48...5.50.

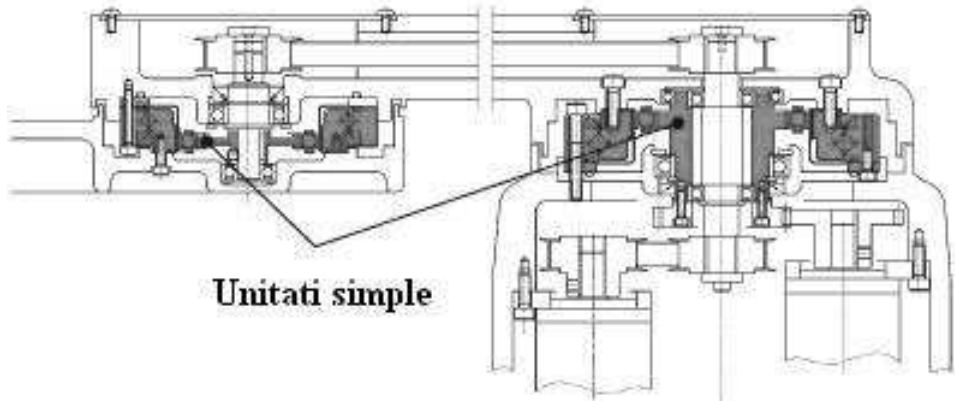


Fig. 5.48 Sisteme de realizare a mișcărilor de rotație la roboți

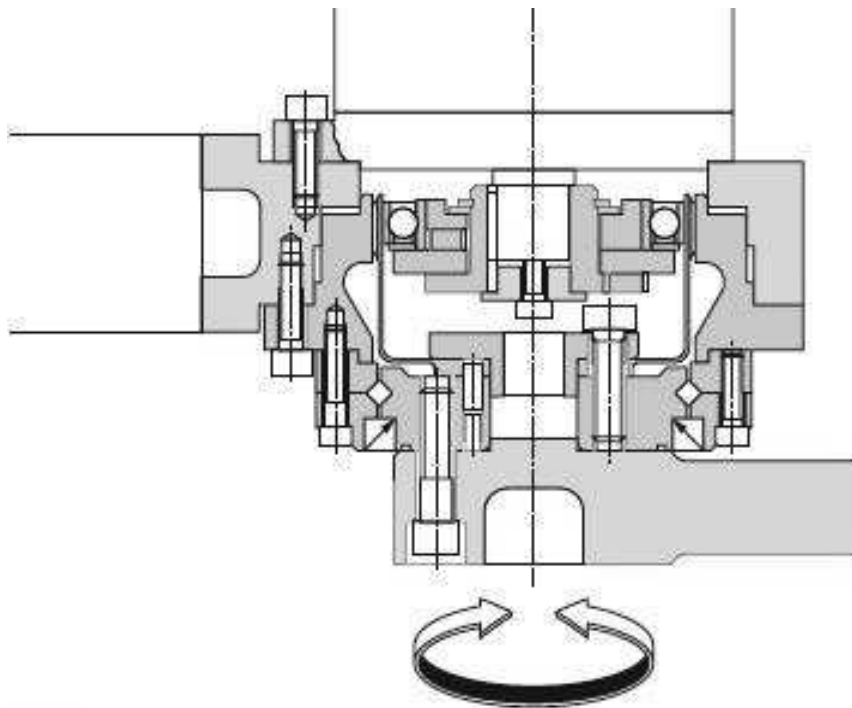


Fig. 5.49 Robot cu braț orizontal

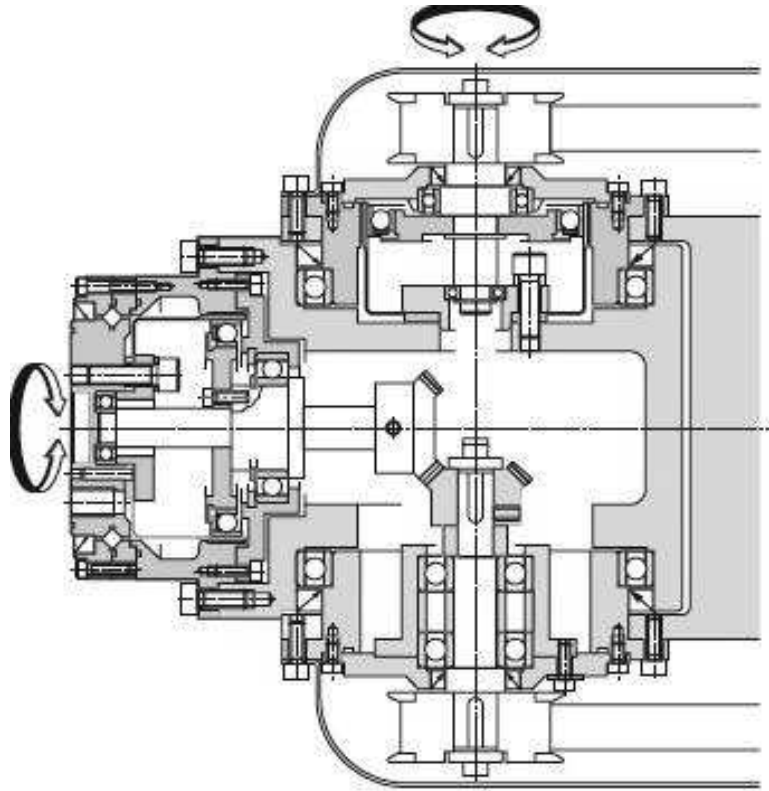
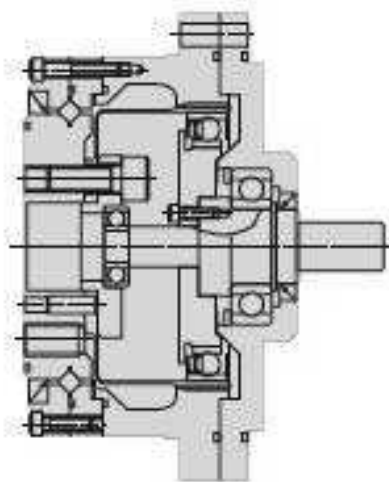


Fig. 5.50 Robot multiarticulat



Sisteme de transmitere armonice se utilizează atât ca unități de intrare (fig. 5.51), cât și de ieșire (fig. 5.52) pentru una sau două axe de rotație din diferite tipuri de construcții din aplicațiile mecatronice.

De asemenea **STA** intră în componența unităților de conectare directă la servomotor, cu aplicații la automobile, echipamente sport, jocuri mecanice, aparate casnice, etc. ca în fig. 5.53.

Fig. 5.51 Unitate intrare

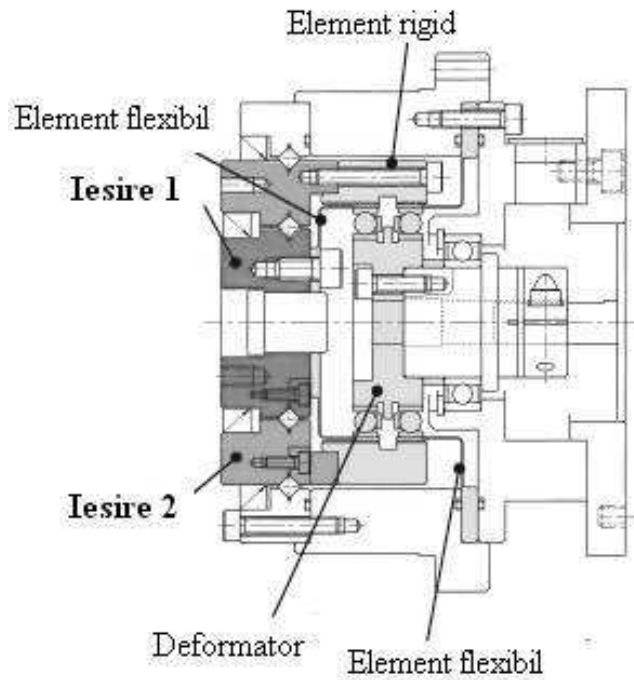


Fig. 5.52 Unitate de ieșire cu două axe

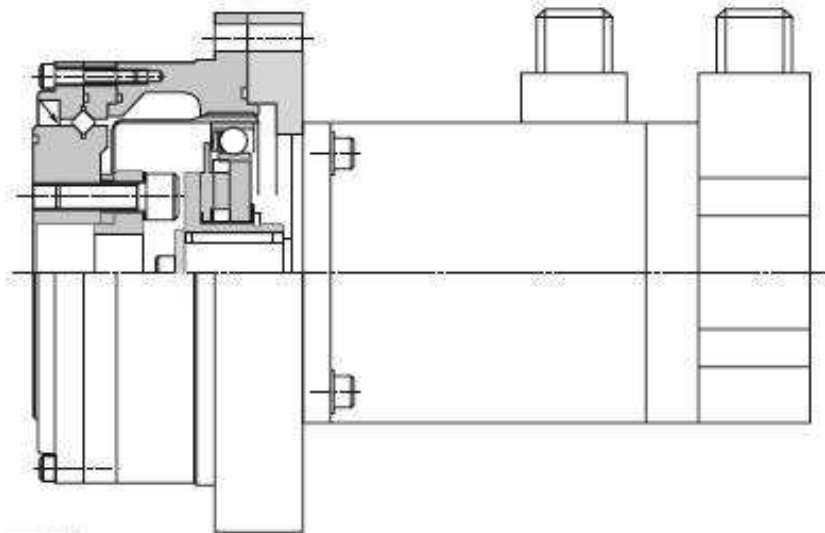


Fig. 5.53 Conexiune directă la servomotor

- **Mașini-unelte - STA** permit controlul precis al mișcărilor:
 - pentru axele de poziționare;
 - pentru schimbarea sculelor;



Fig. 5.54. Magazie de scule

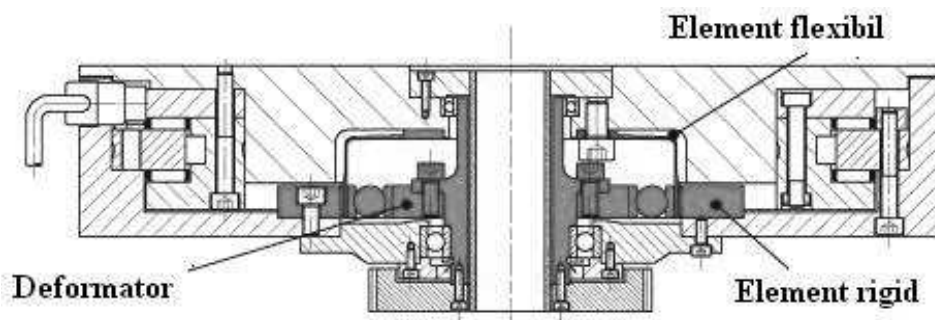


Fig. 5.55 Masă rotativă

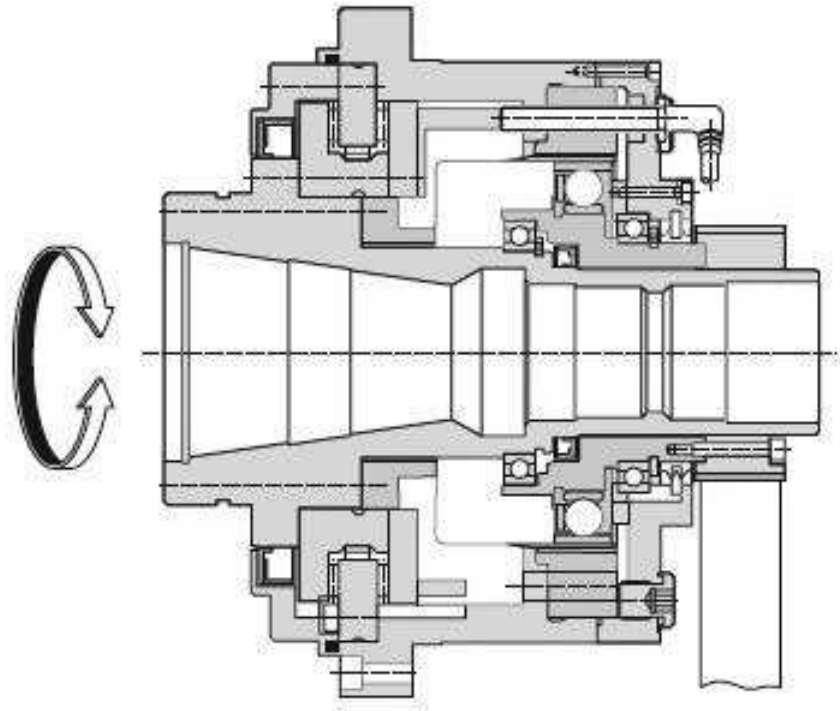
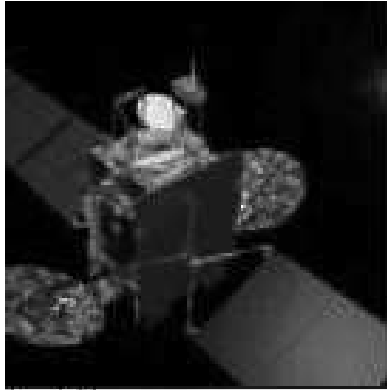


Fig. 5.56 Schimbător de scule

- **Echipamente medicale** – aplicații care utilizează STA includ:
 - paturi de spital;
 - echipamente de reabilitare;
 - macarale pentru scanere MRF/Cat.

- **Echipamente aerospațiale** – STA sunt utilizate pentru:
 - conducerea mișcării
 - poziționare
 - control cu precizie
 - centrare;
 - vehicule selenare;
 - telescoape;
 - giroscopae pentru busolă;
 - instrumente științifice;
 - sateliți pentru:

- comunicații
- supraveghere militară
- meteo



- antene



- **Echipamente terestre** utilizează **STA** pentru:
 - rotire și înclinare cu precizie;
 - reglare;
 - deschidere-închidere;
- antene de dimensiuni mari:
 - staționare
 - mobile
- sisteme radar:
 - civile;
 - militare;
- ferestre mobile;

- panouri solare;
 - trape;
 - uși glisante.
- **Echipamente din componența mașinilor și utilajelor industriale**
 - încărcare-descărcare (fig. 5.57).

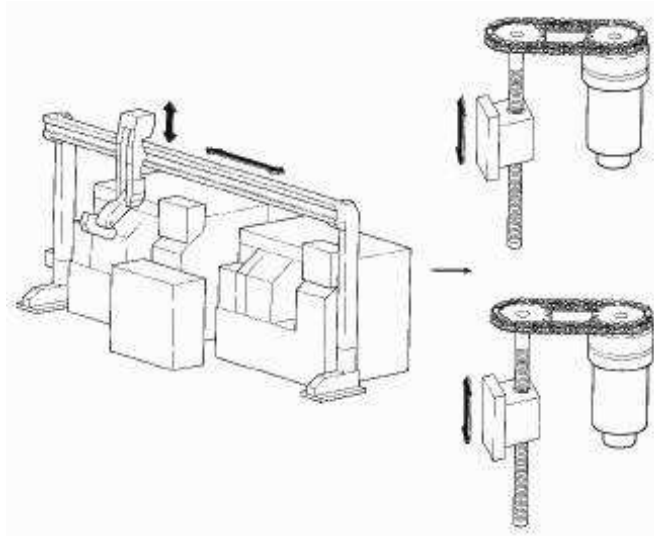


Fig. 5.57 Echipamente de încărcare-descărcare



Fig. 5.58 Echipament de prelucrare semiconductori

